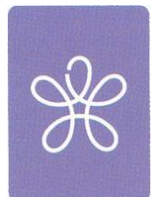


原子気体のボース凝縮系における 最近の進展： 人工ゲージ場の効果を中心として

基礎研究会「熱場の量子論とその応用」
2013年8月26日(月)～28日(水)
於 京都大学 基礎物理学研究所 湯川記念館
Panasonic 国際交流ホール



笠松 健一
近畿大学 理工学部 理学科



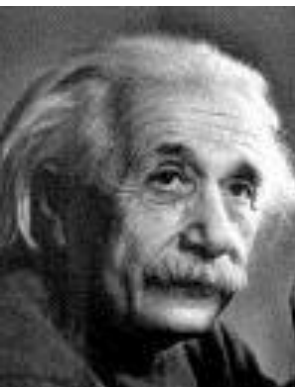
原子気体のボース凝縮系における 最近の進展： 人工ゲージ場の効果を中心として

- 1, 原子気体のボースアインシュタイン凝縮(BEC)
- 2, 超流動・量子流体力学の展開
- 3, 中性原子に対する磁場 (Synthetic gauge field)
- 4, スピン軌道相互作用をもつBEC

ボース-アインシュタイン凝縮 (Bose-Einstein condensation : BEC)



S. Bose



A. Einstein

ボース統計に従う粒子の集団（気体）において、ある温度以下で突然、全粒子数に匹敵する大量の粒子が、最低エネルギー状態に落ち込む現象。

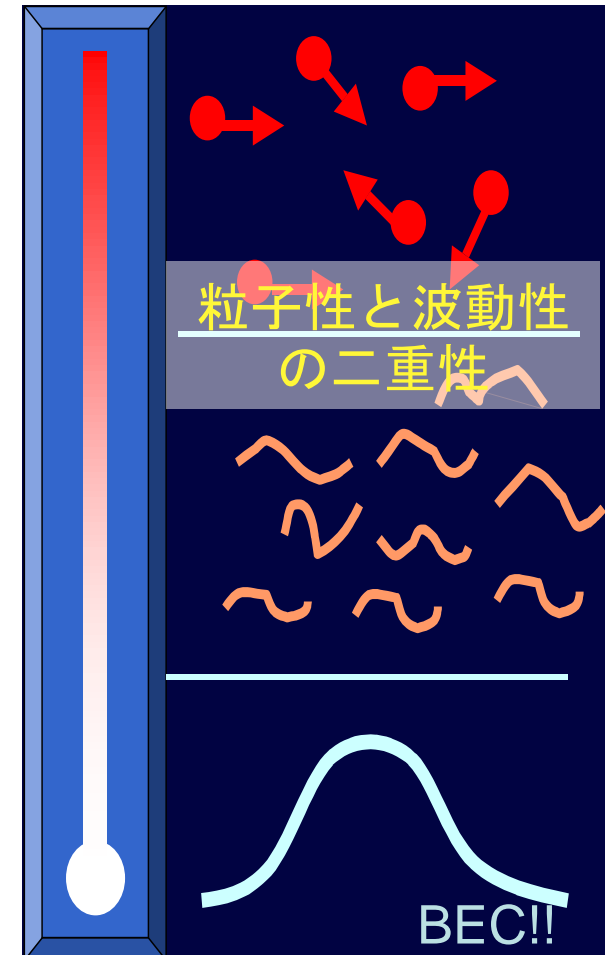
温度が下がると物質波の波長が伸びる。さらに低温では波の位相がそろい始めて、粒子全体が巨大な波として振るまう。

ミクロな量子現象をマクロなスケールに出現させる。

超流動（ヘリウム原子のBEC）

超伝導（電子の対のBEC）

などの劇的な現象を生み出す源



ボース-アインシュタイン凝縮

(Bose-Einstein condensation : BEC)

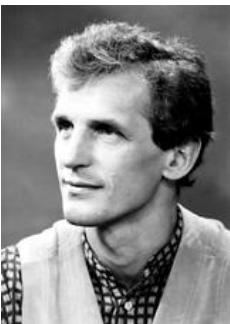
1995年・… 冷却原子気体のBECが実現



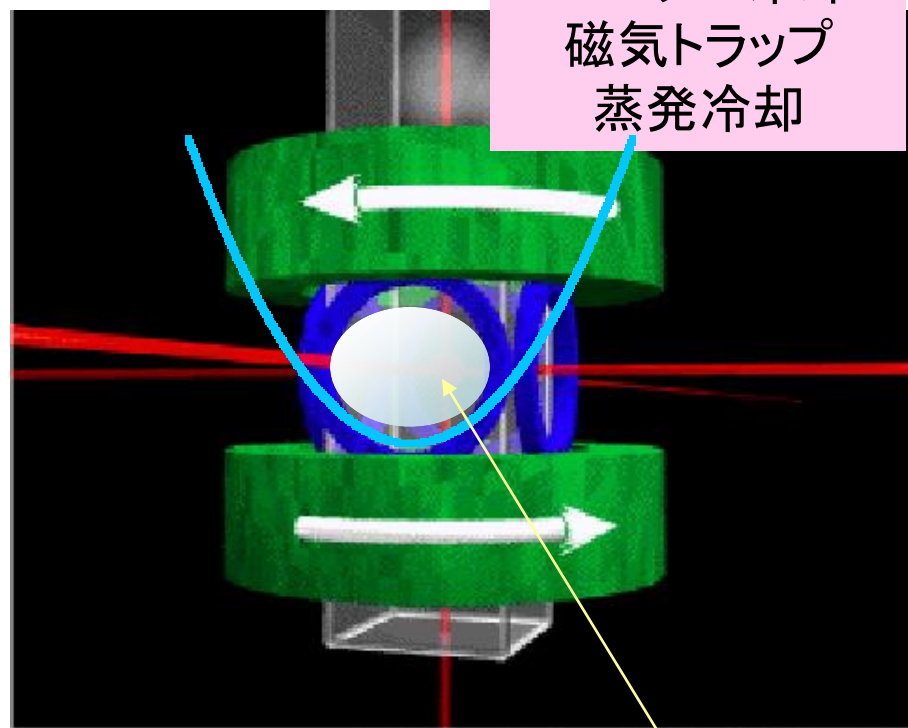
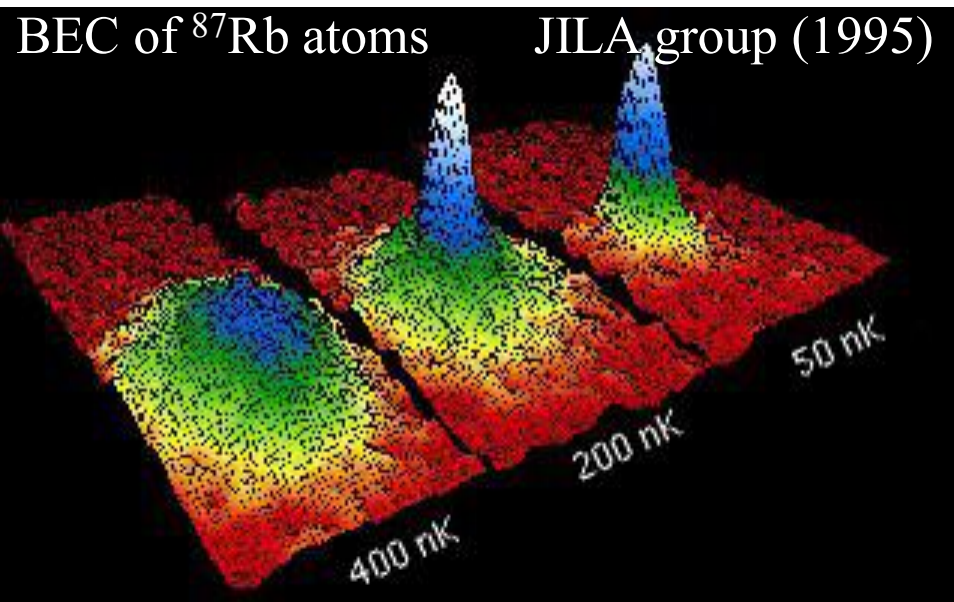
E. Cornell



C. Wieman



W. Ketterle



温度: $\text{nK}(10^{-9} \text{ K})$
原子数: 10^{4-7} 個
密度: $10^{13-15} / \text{cm}^3$
サイズ: $10-100 \mu\text{m}$

冷却原子BECの特徴

- ・ 巨視的コヒーレンスの発現 \leftrightarrow 巨視的波動関数(秩序変数)
- ・ 希薄気体 (small gas parameter) ··· Gross-Pitaevskii 方程式

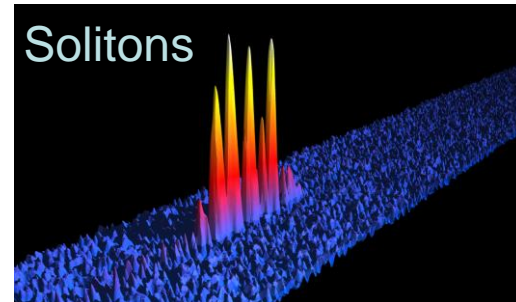
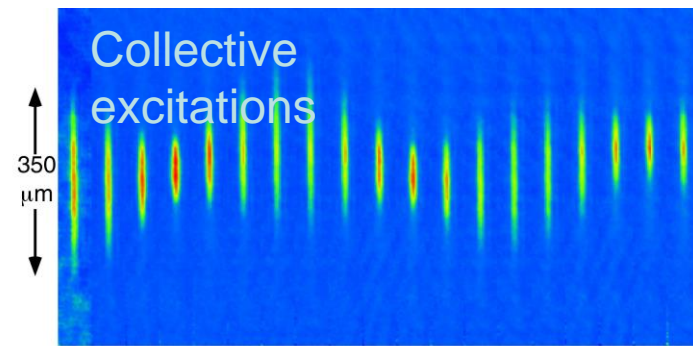
$$i\hbar \frac{\partial \Psi}{\partial t} = \left[-\frac{\hbar^2 \nabla^2}{2m} + V + \frac{4\pi\hbar^2 a}{m} |\Psi|^2 \right] \Psi$$

Ψ : condensate wave function
 V : Trapping potential
 a : s-wave scattering length

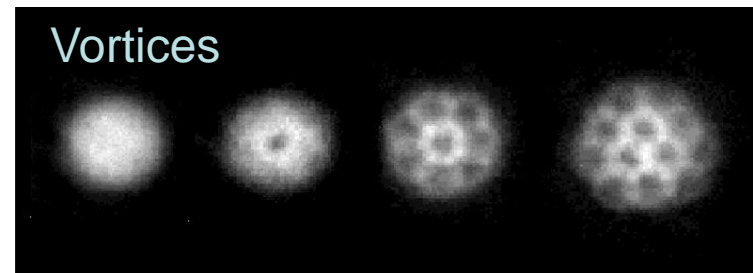
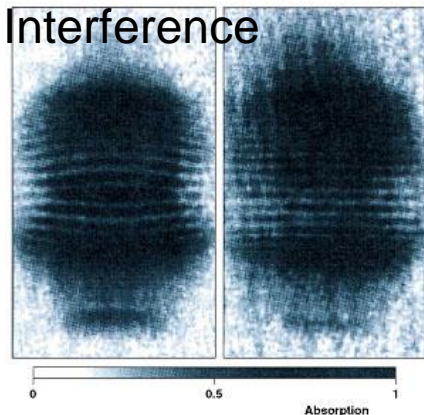
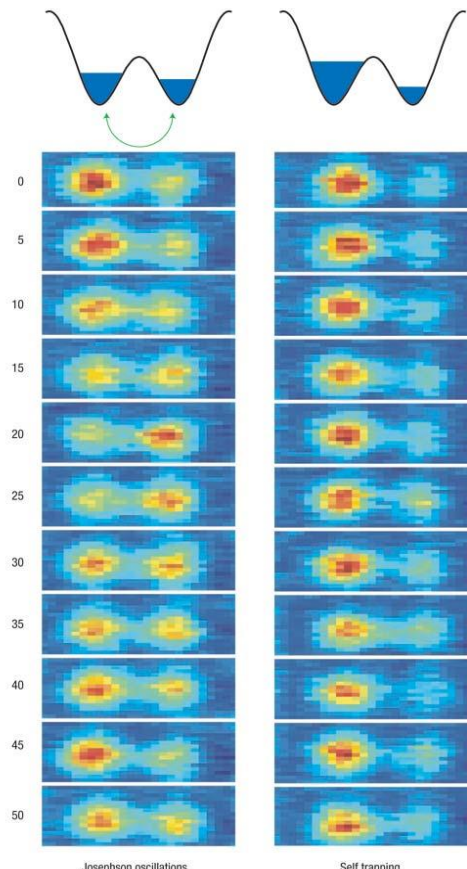
- ・ 比較的大きな回復長 (秩序変数の空間変化)
- ・ 閉じ込めポテンシャルによる有限系
- ・ 多成分凝縮体
- ・ 原子間相互作用の操作 (フェシュバッハ共鳴)
- ・ 外場による凝縮体操作 ··· トランプの異方性, 光格子, 低次元系
光スプーン, 不純物ポテンシャル
人工ゲージ場, . . .

BECにおける超流動性

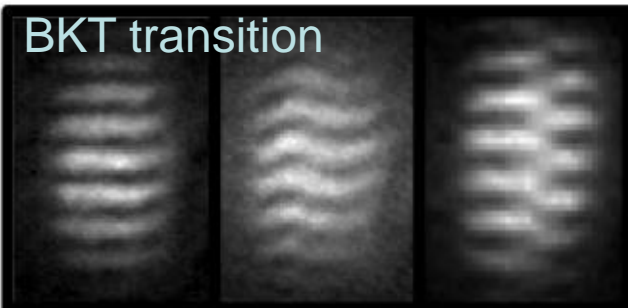
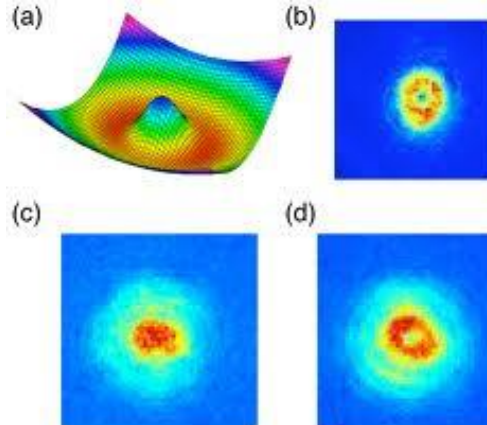
- ・ 巨視的コヒーレンスの発現 \leftrightarrow 巨視的波動関数(秩序変数)



Josephson effect



Persistent current



BECにおける量子流体力学

超流動体で起こる流体现象、特に「量子渦」によって支配される流体力学

循環の量子化

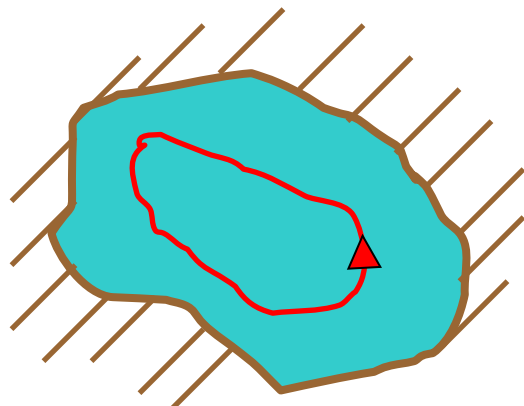
巨視的波動関数

$$\Psi = |\Psi| \exp(iq)$$

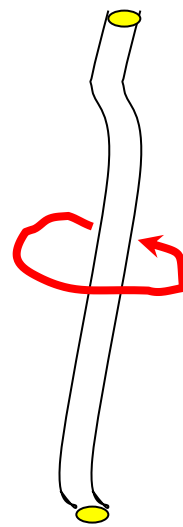
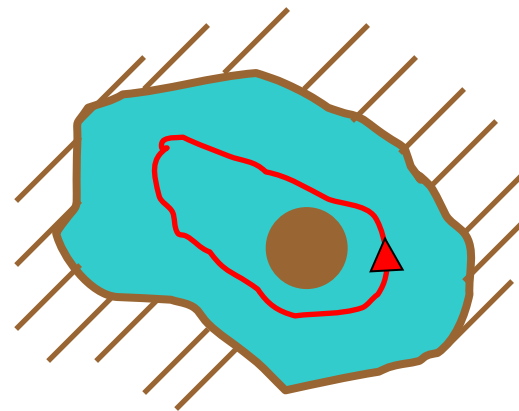
超流動速度場

$$v_s = \frac{\hbar}{m} \nabla \theta$$

単連結領域



多重連結領域



$$G = \oint_C \mathbf{v}_s \times d\mathbf{l} = 0, \quad \text{rot } \mathbf{v}_s = 0$$

$$\Gamma = \oint_C \mathbf{v}_s \cdot d\mathbf{l} = \frac{\hbar}{m} \oint_C \nabla \theta \cdot d\mathbf{l} = \frac{\hbar}{m} n$$

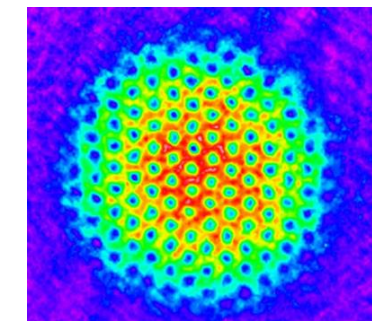
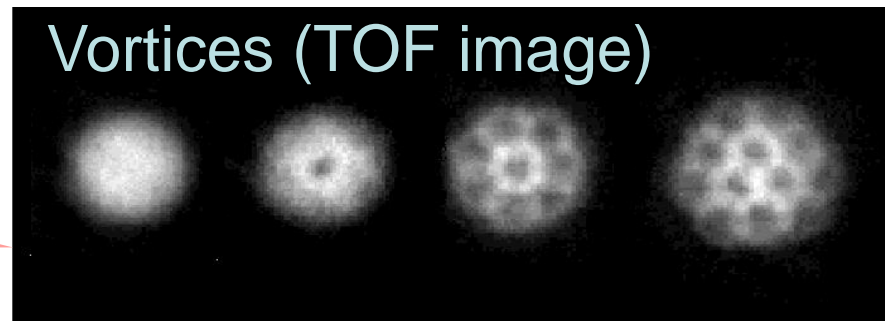
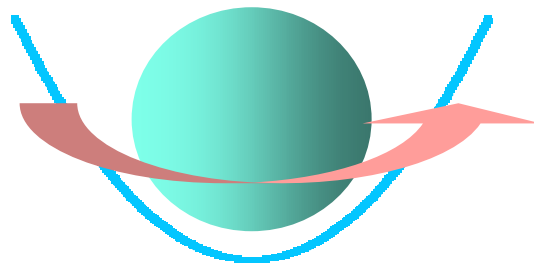
(n : 整数)

超流体が排除された渦芯と量子化された循環を持つ渦

量子渦(Quantized vortex)

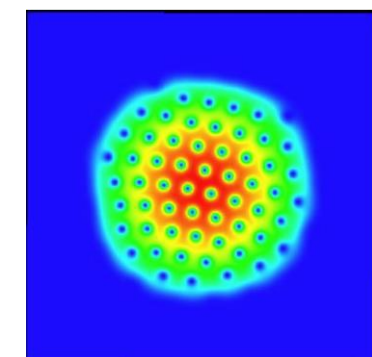
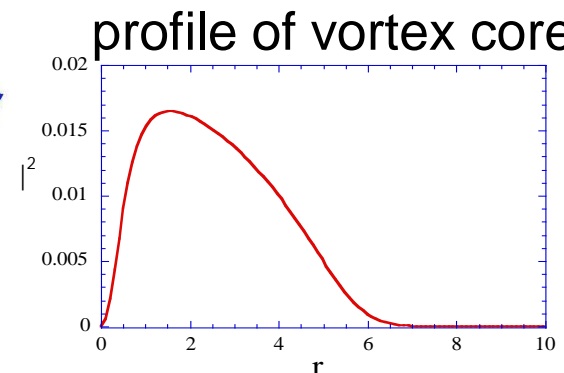
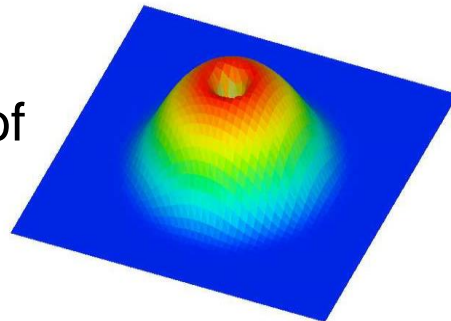
冷却原子気体BECにおける量子渦

Rotating BEC



→ 高速回転

Solutions of
GP eq.

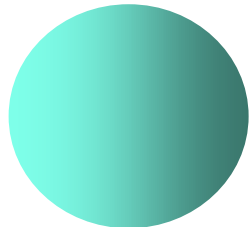


Review papers

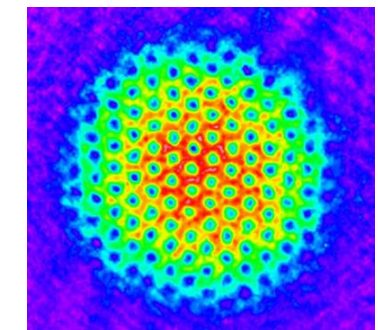
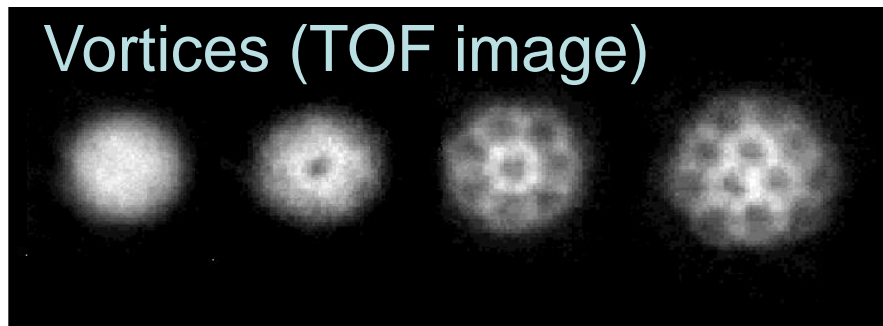
- K. K., and M. Tsubota, Prog. Low Temp. Phys. **16**, 351 (2009), ed. by W. P. Halperin and M. Tsubota (Elsevier).
- A. L. Fetter, Rev. Mod. Phys. **81**, 647 (2009).
- M. Tsubota, K. K, M. Kobayashi, Chap.3 in *Novel Superfluids*, ed. by K. H. Bennemann and J. B. Ketterson,
- M. Tsubota, M. Kobayashi, H. Takeuchi, Phys. Rep., **522**, 191-238 (2013).

冷却原子気体BECにおける量子渦

Rotating BEC

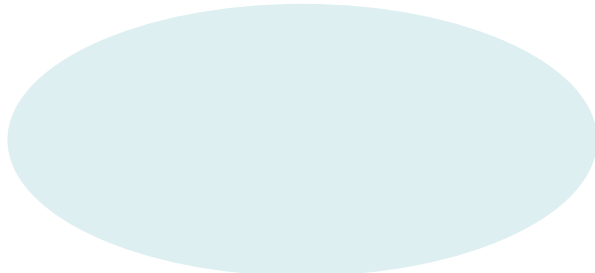


Vortices (TOF image)



→ 高速回転

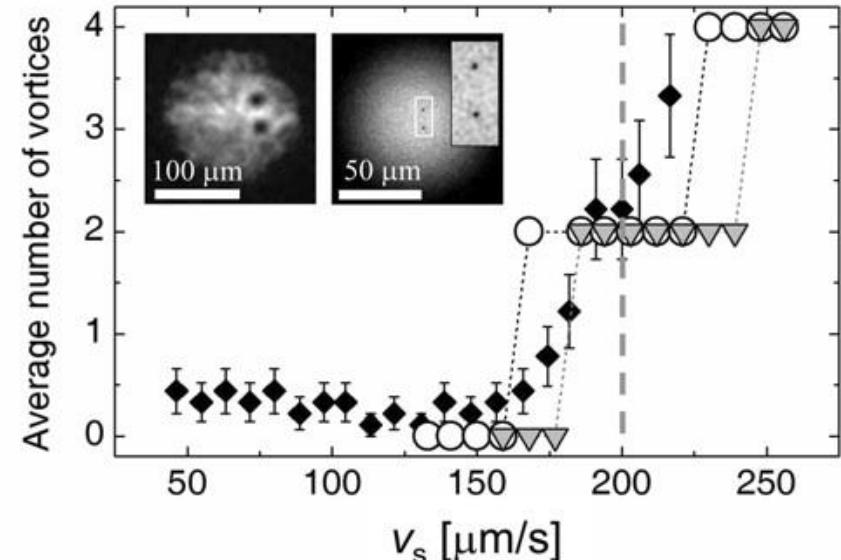
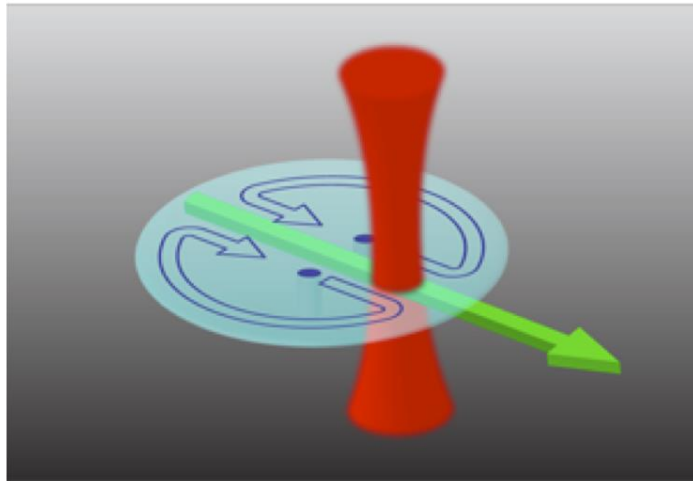
Time of flight (TOF)



量子渦の制御と観測

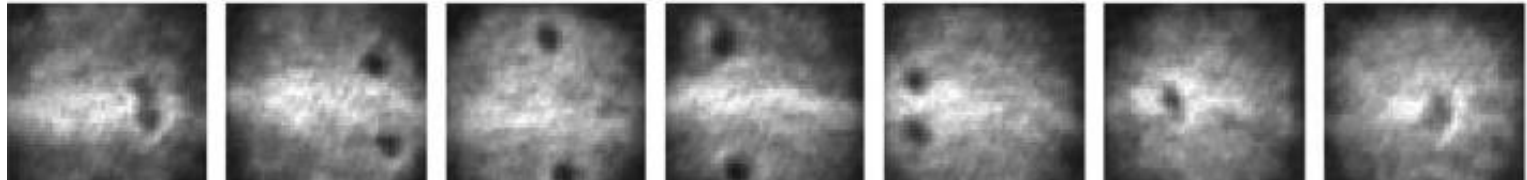
Neely, et al., PRL 104, 160401 (2010)

Vortex dipole (渦-半渦ペア) の生成とダイナミクスの観測



実験と理論の定量的比較

実験

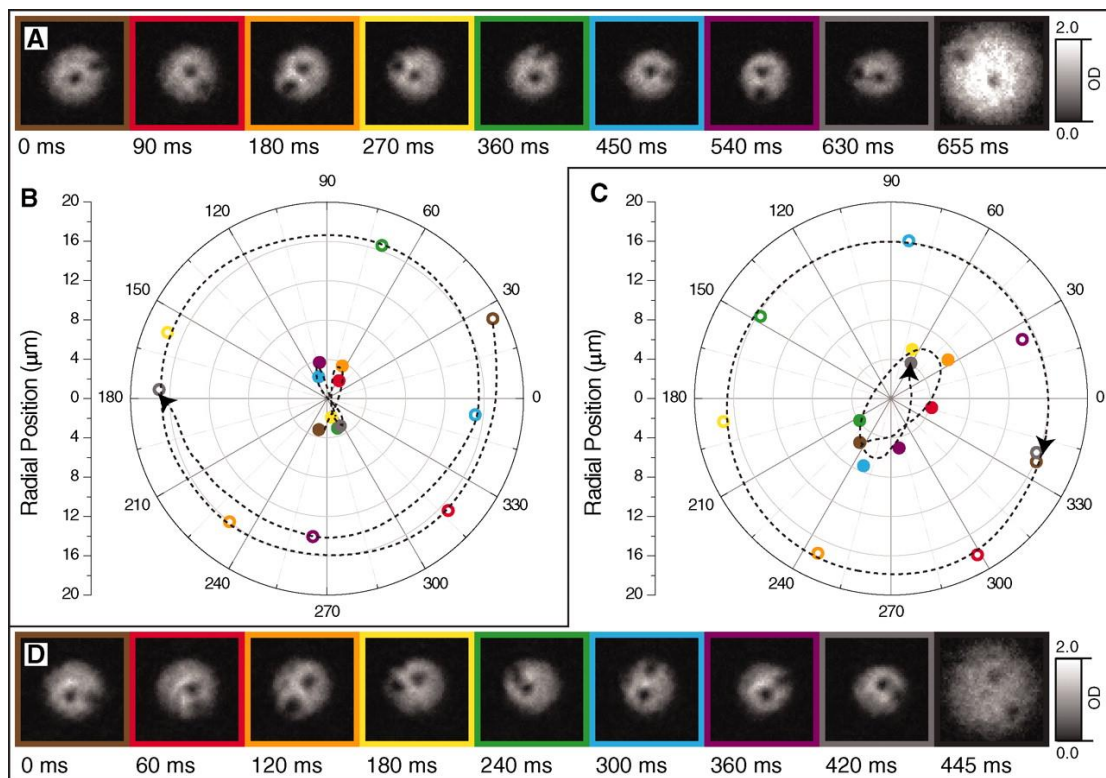
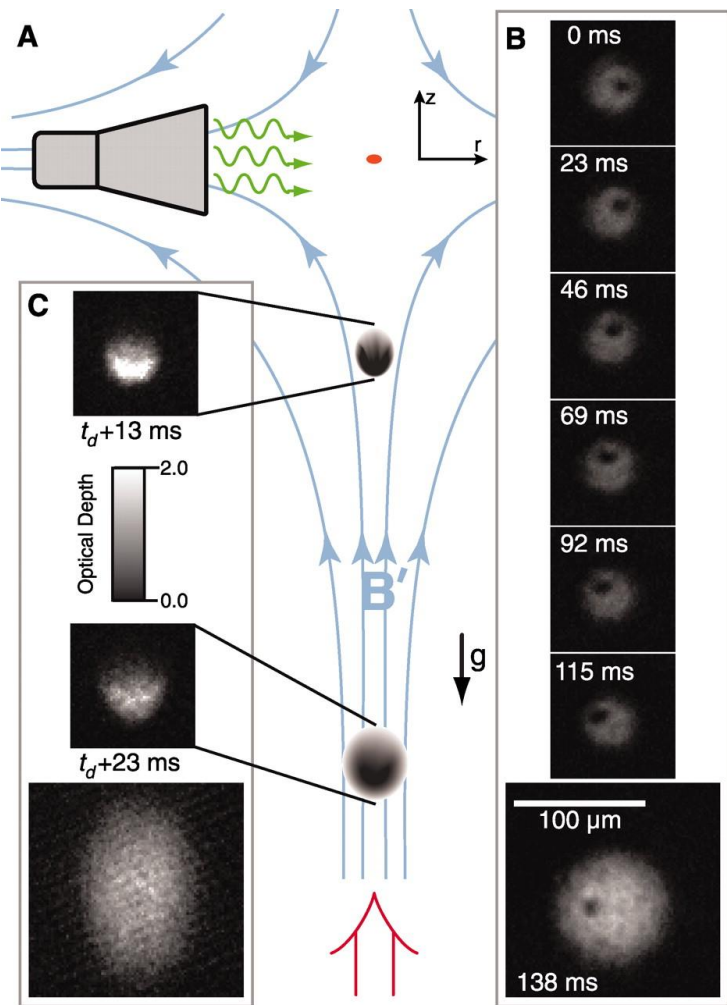


理論



量子渦の制御と観測

D.V. Freilich, et al., Science 329, 1182 (2010)



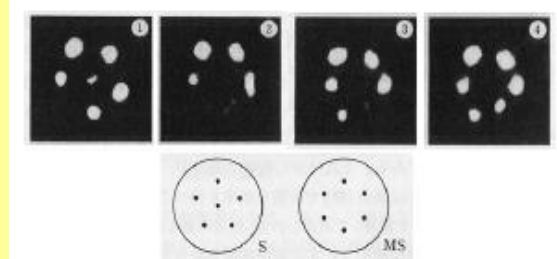
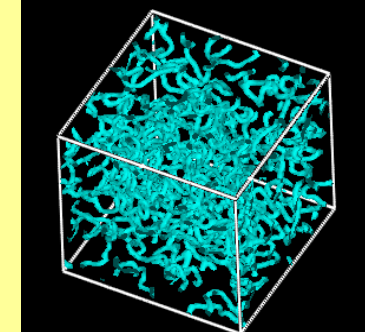
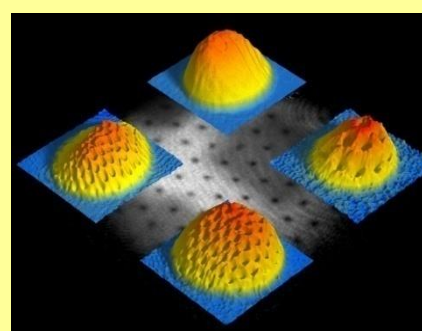
Real-Time Dynamics of a Single Vortex Line and Vortex Dipoles

S. Middelkamp, et al., PRA 84, 011605(R) (2011)
R. Navarro, et al., PRL 110, 225301 (2013)

原子気体BECにおける量子乱流

量子渦の制御と観測技術の確立

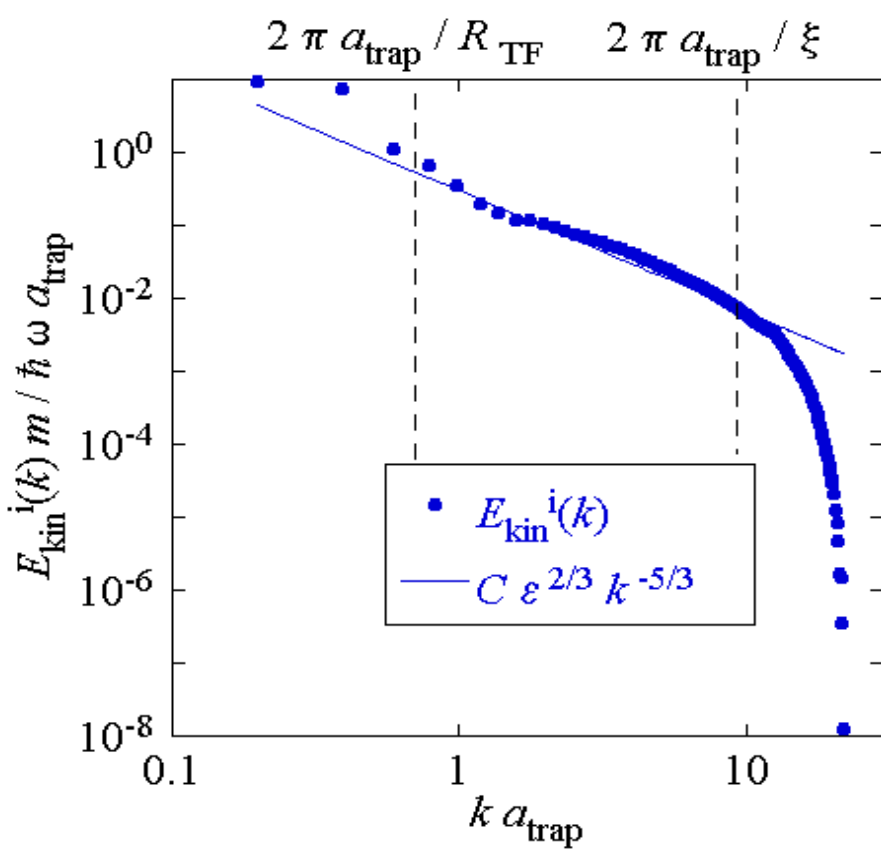
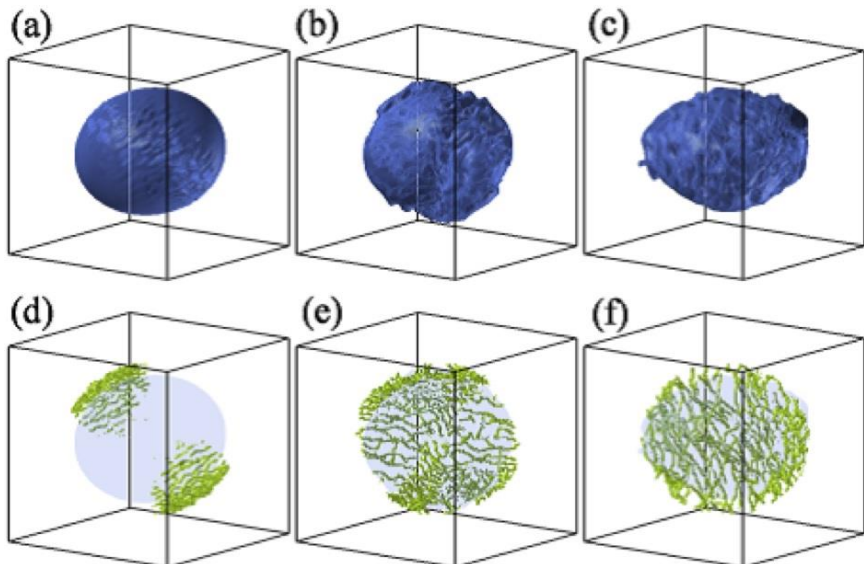
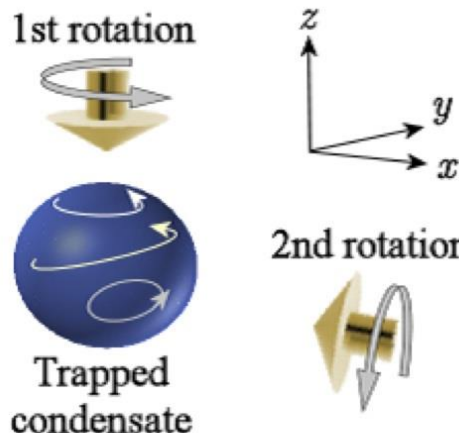
→ 「量子乱流（Quantum turbulence）」状態の
解明

	Vortex array	Vortex tangle
Superfluid He		
Atomic BEC		

原子気体BECにおける量子乱流

- (1)流れを系に加えることができない。
(2)有限系である。十分な慣性領域がとれるか？

2軸回転



Kolmogorov law $E(k) \propto k^{-5/3}$

M. Kobayashi and M. Tsubota,
PRA **76**, 045603 (2007)

原子気体BECにおける量子乱流

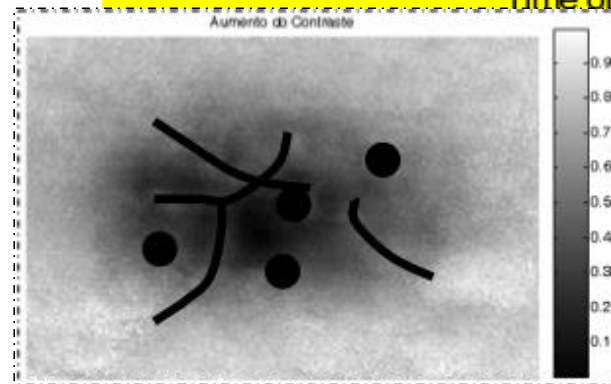
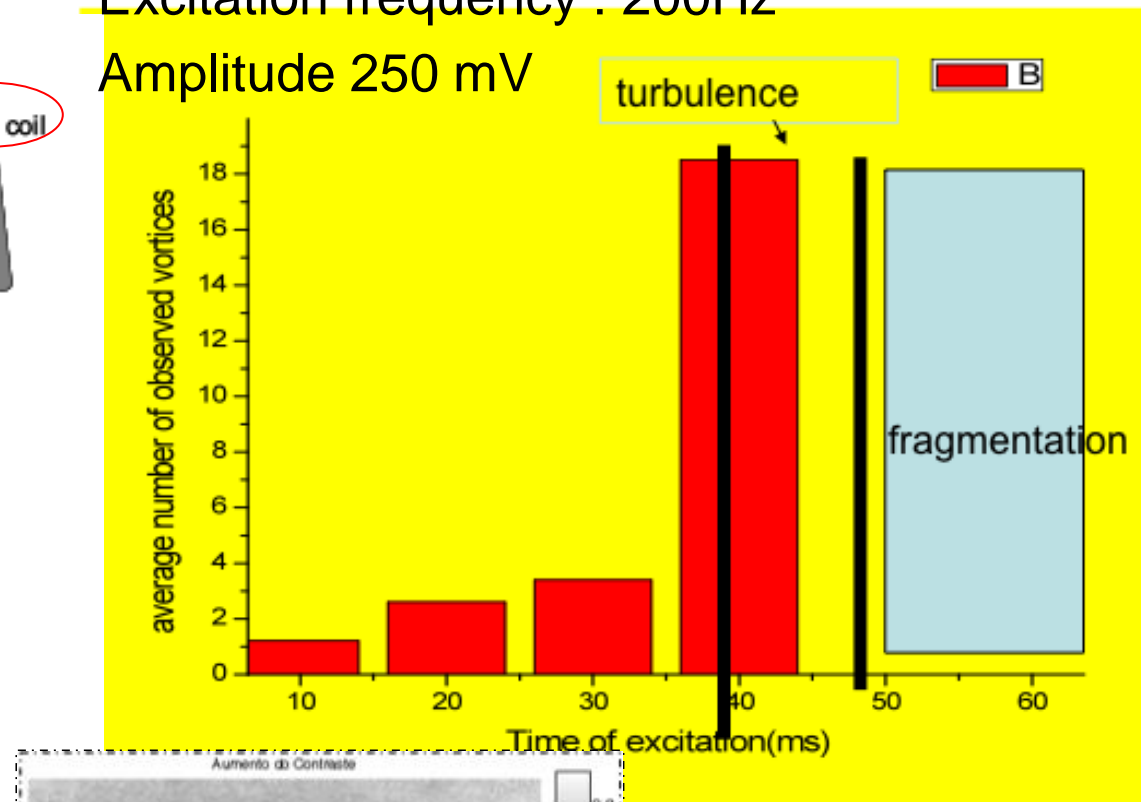
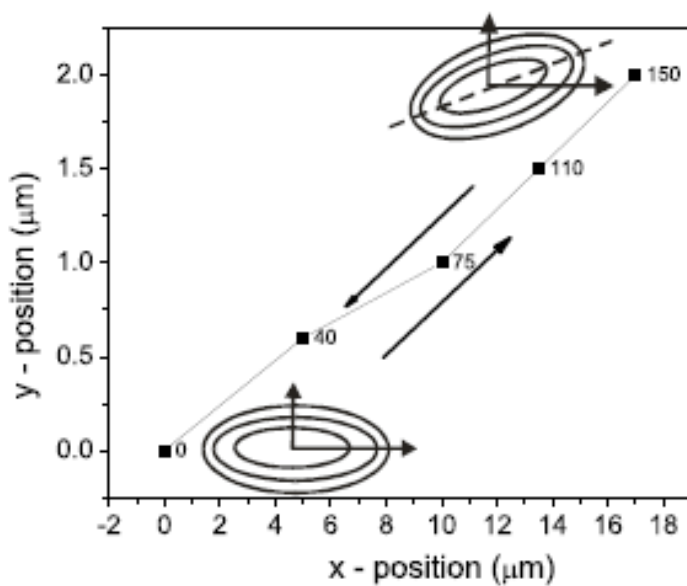
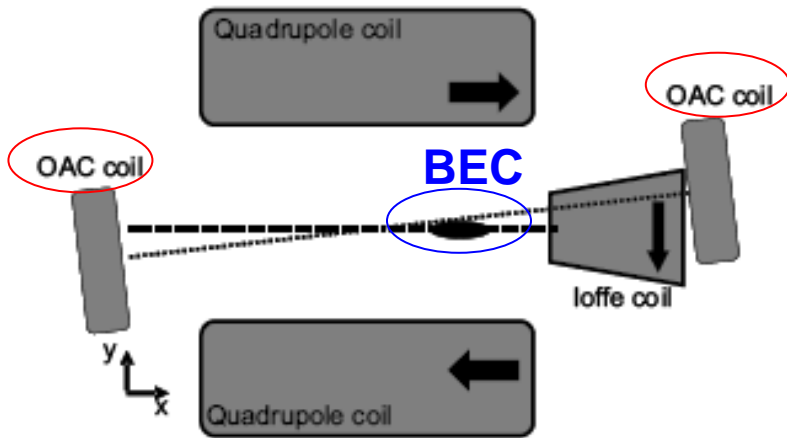
E. A. L. Henn, et al., PRA **79**, 043618 (2009)

Excitation frequency : 200Hz

Amplitude 250 mV

turbulence

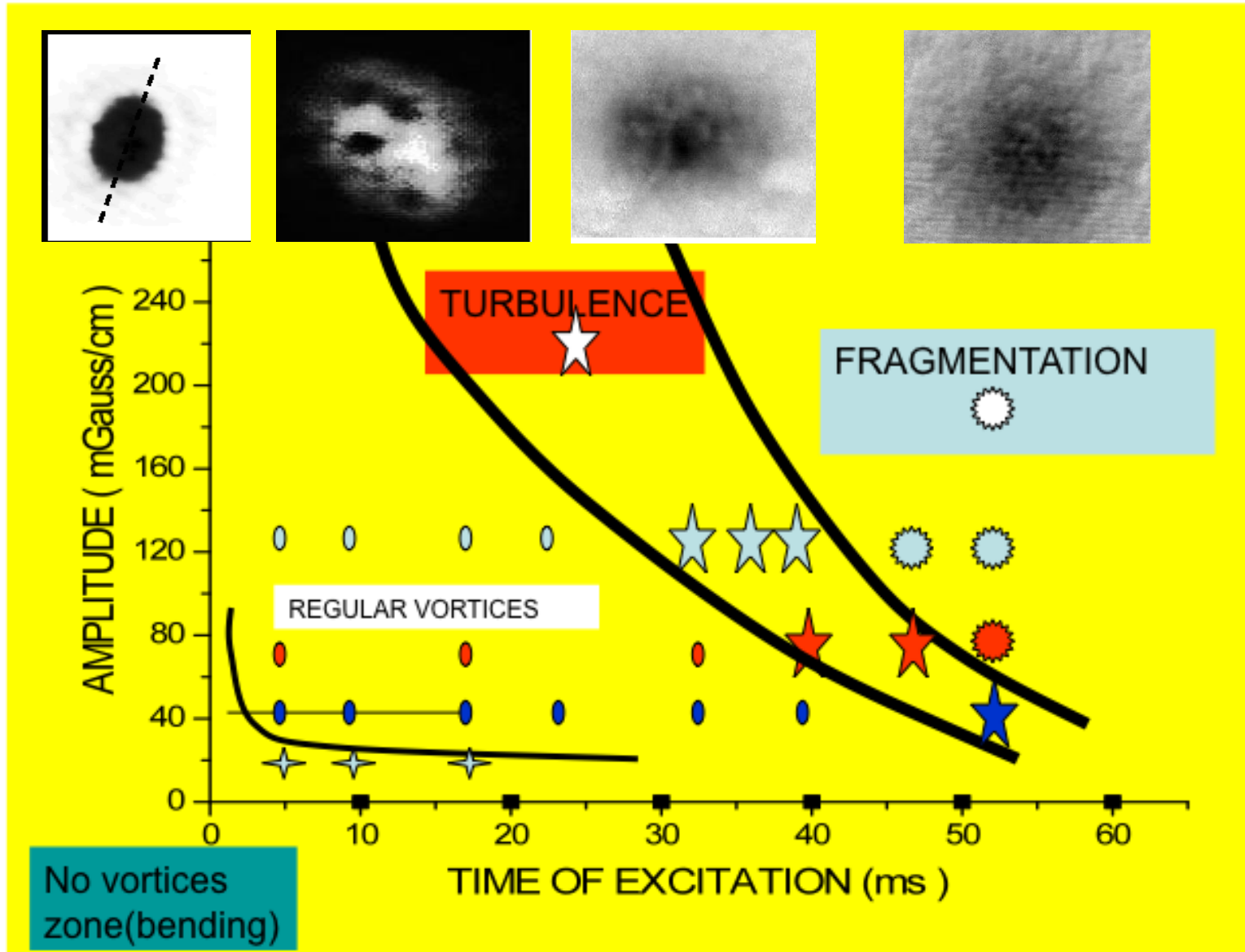
B



E. A. L. Henn, et al.,
PRL **103**, 045301 (2009)

原子気体BECにおける量子乱流

E. A. L. Henn, et al., PRL 103, 045301 (2009)



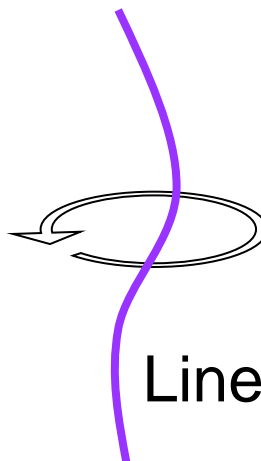
多成分Bose-Einstein凝縮体

多成分Bose Einstein 凝縮体

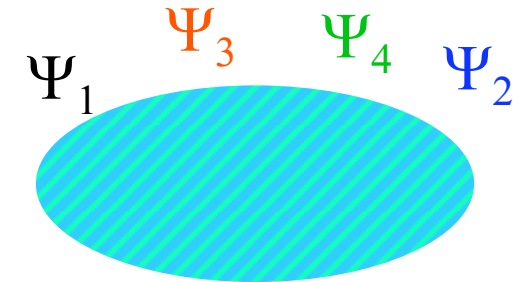


多成分秩序変数

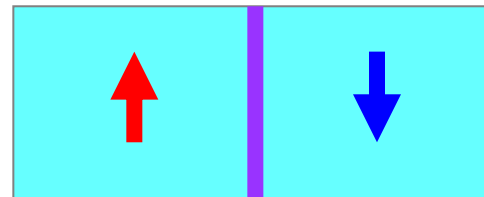
渦, ソリトン, ドメインウォール
モノポール, ブージャム



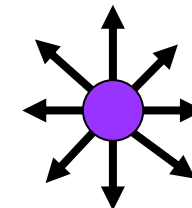
Linear defect



Planer defect



Point defect



多成分超流動系における多彩なダイナミクス

多成分Bose-Einstein凝縮

スピノールBEC

Kawaguchi and Ueda, Phys. Rep. **520**, 253 (2012)
Stamper-Kurn and Ueda, RMP **85**, 1191 (2013)

アルカリ原子の持つスピン自由度 ($F=I+J$) を利用する

D. S. Hall et al., PRL **81**, 1539 (1998)

^{87}Rb $|F=1, m_F=-1\rangle, |2, 1\rangle$

J. Stenger et al., Nature **396**, 345 (1998)

^{23}Na $|1, -1\rangle, |1, 0\rangle, |1, 1\rangle$

M.D. Barrett et al., PRL **87**, 010404 (2001)

^{87}Rb $|1, -1\rangle, |1, 0\rangle, |1, 1\rangle$

H. Schmaljohann, et al., PRL **92**, 040402 (2004)

M.S. Cheng, et al., PRL **92**, 140403 (2004)

T. Kuwamoto, et al., PRA **69**, 063604 (2004)

^{87}Rb $|2, -2\rangle, |2, -1\rangle$
 $, |2, 0\rangle, |2, 1\rangle$
 $, |2, 2\rangle$

BEC mixture

異なる種類の原子・同位体の原子を利用する

G.Modugno et al., PRL 89, 190404 (2002)

^{41}K - ^{87}Rb

D. J. McCarron, et al., PRA 84, 011603 (2011)

^{133}Cs - ^{87}Rb

S. B. Papp, et al., PRL **101**, 040402 (2008)

^{85}Rb - ^{87}Rb

Y. Takasu et al., PRL 91, 040404 (2003)

$^{168, 170, 172, 174, 176}\text{Yb}$

多成分Bose-Einstein凝縮

スピノールBEC

Kawaguchi and Ueda, Phys. Rep. **520**, 253 (2012)
Stamper-Kurn and Ueda, RMP **85**, 1191 (2013)

アルカリ原子の持つスピン自由度 ($F=I+J$) を利用する

D. S. Hall et al., PRL **81**, 1539 (1998)

^{87}Rb $|F=1, m_F=-1\rangle, |2, 1\rangle$

J. Stenger et al., Nature **396**, 345 (1998)

^{23}Na $|1, -1\rangle, |1, 0\rangle, |1, 1\rangle$

M.D. Barrett et al., PRL **87**, 010404 (2001)

^{87}Rb $|1, -1\rangle, |1, 0\rangle, |1, 1\rangle$

H. Schmaljohann, et al., PRL **92**, 040402 (2004)

^{87}Rb $|2, -2\rangle, |2, -1\rangle$

M.S. Cheng, et al., PRL **92**, 140403 (2004)

$, |2, 0\rangle, |2, 1\rangle$

T. Kuwamoto, et al., PRA **69**, 063604 (2004)

$, |2, 2\rangle$

BEC mixture

異なる種類の原子・同位体の原子を利用する

G. Modugno et al., PRL **89**, 190404 (2002)

^{41}K - ^{87}Rb

D. J. McCarron, et al., PRA **84**, 011603 (2011)

^{133}Cs - ^{87}Rb

S. B. Papp, et al., PRL **101**, 040402 (2008)

^{85}Rb - ^{87}Rb

Y. Takasu et al., PRL **91**, 040404 (2003)

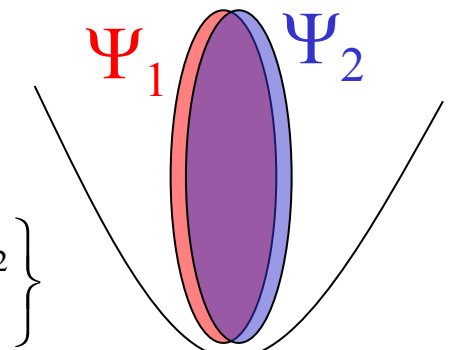
$^{168, 170, 172, 174, 176}\text{Yb}$

2成分BEC系の定式化

Gross-Pitaevskii (GP) energy functional

$$E[\Psi_1, \Psi_2] = \int d^3r \left\{ \sum_{j=1,2} \left[\frac{\hbar^2}{2m_j} |\nabla \Psi_j|^2 + V_j |\Psi_j|^2 \right] \right.$$

$$\left. + \frac{g_{11}}{2} |\Psi_1|^4 + \frac{g_{22}}{2} |\Psi_2|^4 + g_{12} |\Psi_1|^2 |\Psi_2|^2 \right\}$$



Trapping potential

$$V_j = \frac{1}{2} m_j \omega^2 (r^2 + l^2 z^2)$$

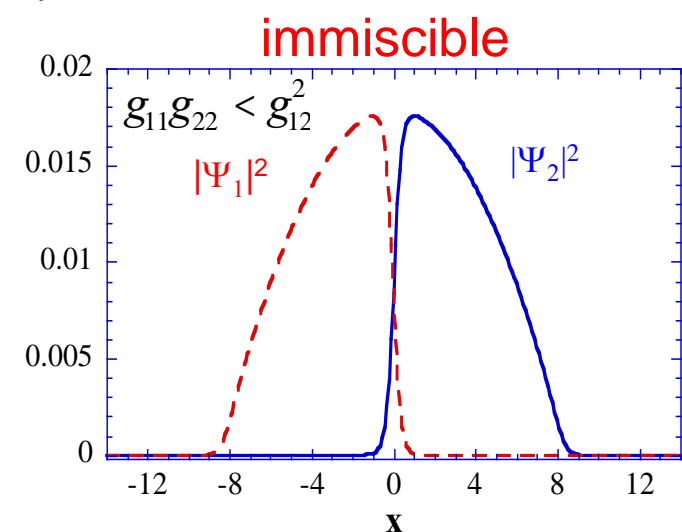
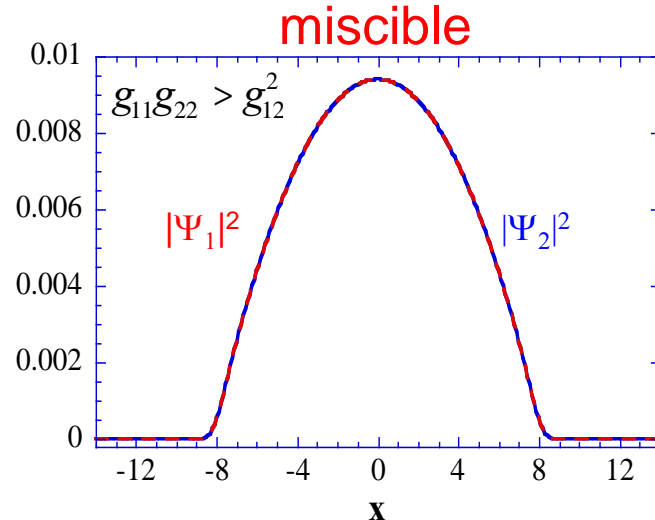
Trapping potential

Atomic interaction

$$g_{jk} = \frac{2\mu\hbar^2 a_{jk}}{m_{jk}} \quad a_{ij}: \text{s-wave scattering length}$$

$$m_{jk}^{-1} = m_j^{-1} + m_k^{-1}$$

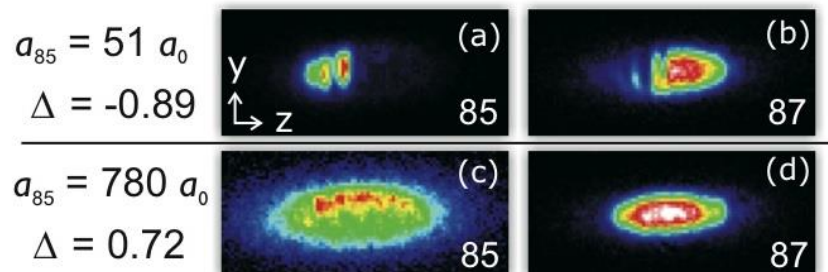
Ground state



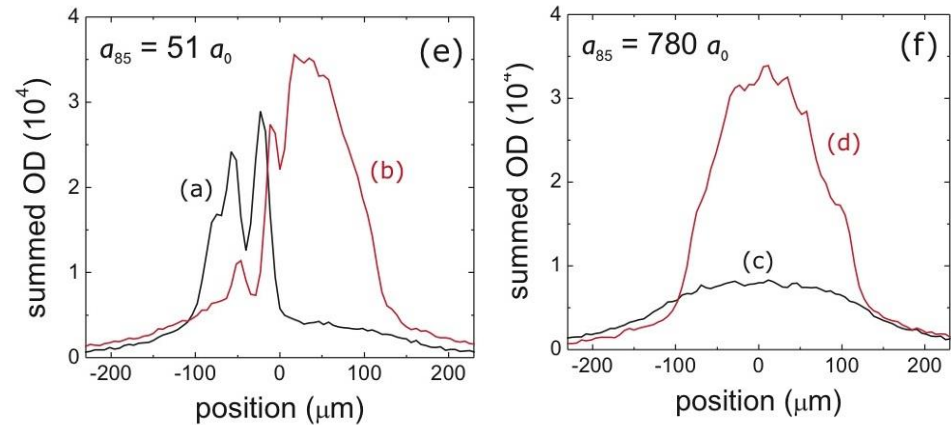
2成分BEC系の実験

$^{85}\text{Rb} - ^{87}\text{Rb}$

$$\Delta = \frac{a_{85}a_{87}}{a_{85-87}^2} - 1$$



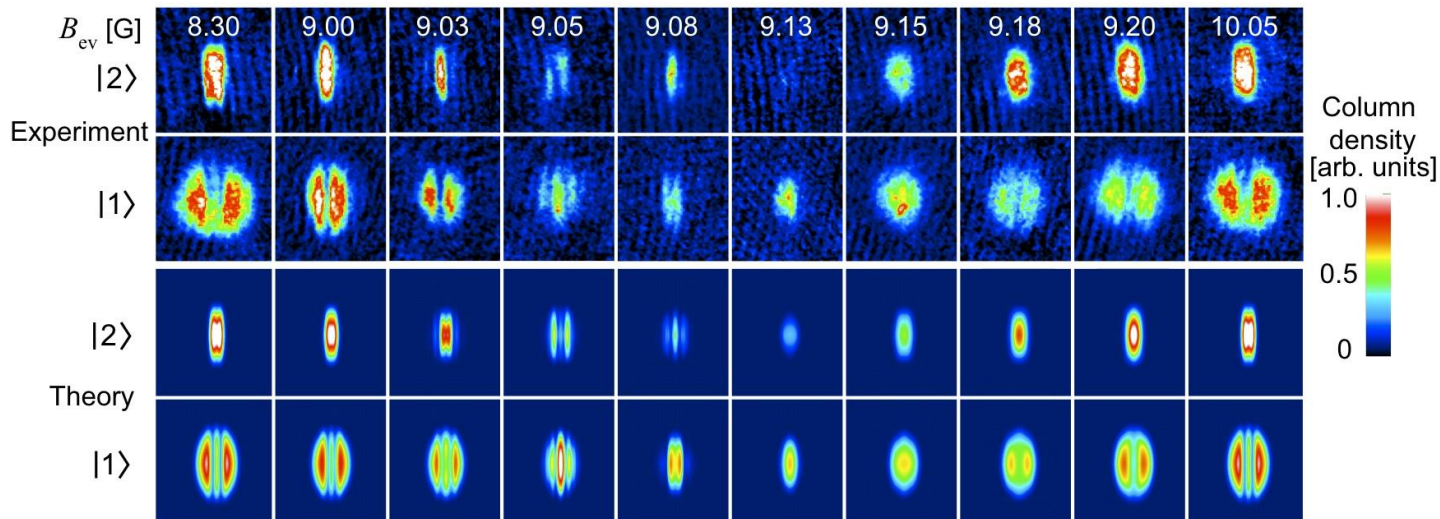
Papp, et al., PRL 101, 040402 (2008)



Tojo, et al., PRA 82, 033609 (2010)

^{87}Rb

$|F=1, m_F=1\rangle$
 $|F=2, m_F=-1\rangle$

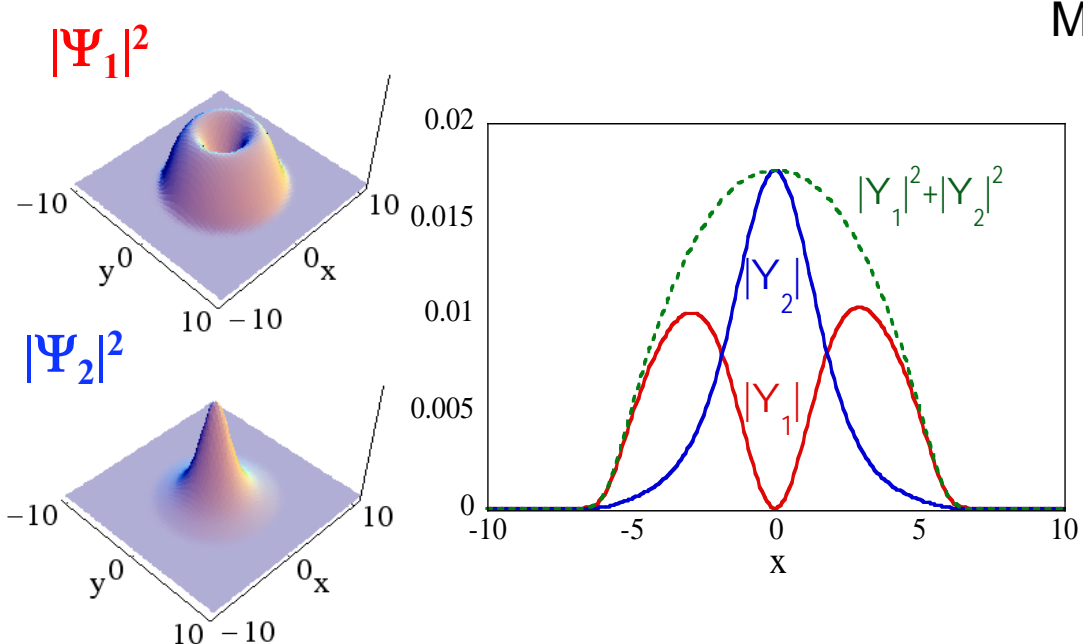


$$\Delta a = a_{12}(B) - a_{12}^{\text{bg}}$$

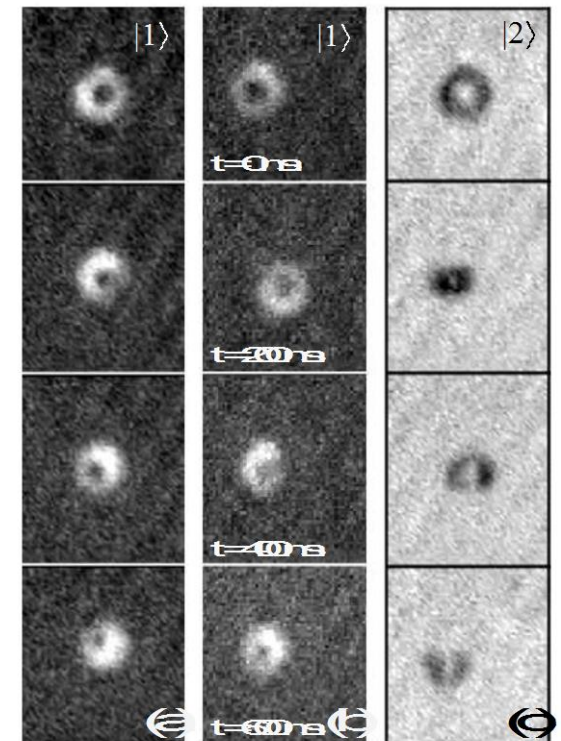
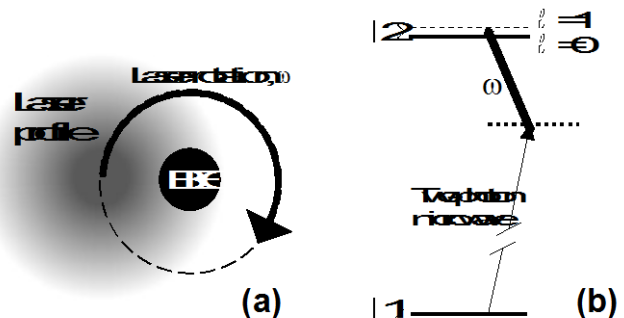
$$\begin{array}{ccccccccc} K_{12} & 0.5 & 1 & 2 & 3 & 6 & +9.0 & -6.5 & 2 \\ \Delta a & 0 & +1.0 & +5.0 & +8.0 & +9.0 & & -4.5 & -2.5 \\ \end{array}$$

$0.5 \times 10^{-13} [\text{cm}^3/\text{s}]$
 $0 \times a_B [\text{a.u.}]$

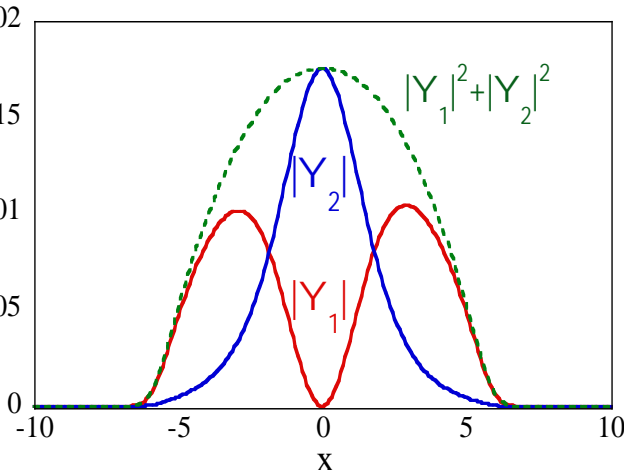
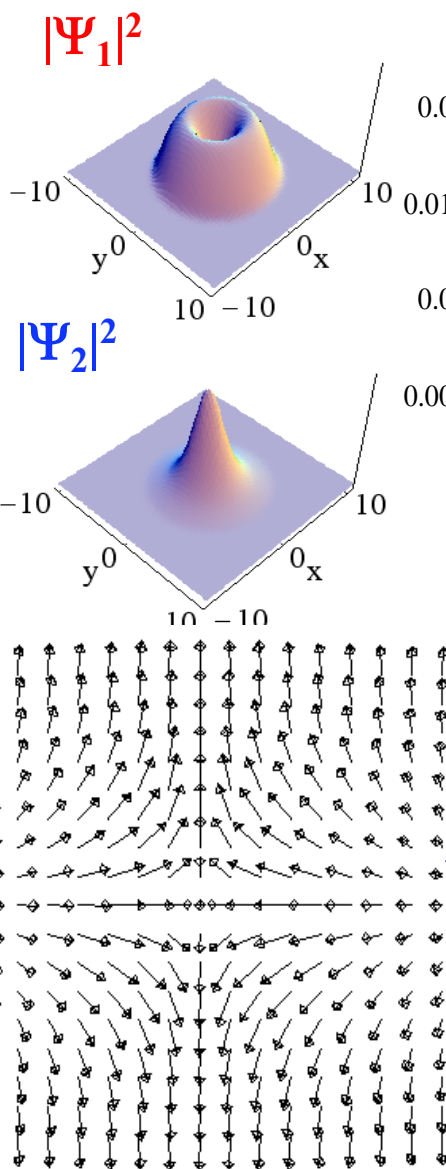
2成分BECにおける量子渦



Matthews et al., PRL 83, 2498 (1999)



2成分BECにおける量子渦



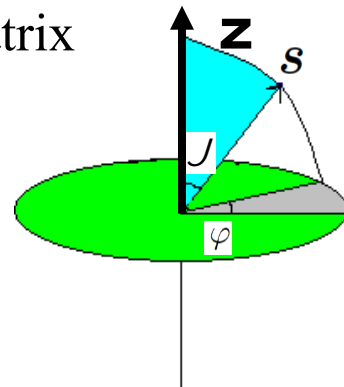
2D skyrmion
Anderson-Toulouse vortex

$$\Psi = \begin{pmatrix} \psi_1 \\ \psi_2 \end{pmatrix} = \begin{pmatrix} \sqrt{n_1} e^{i\theta_1} \\ \sqrt{n_2} e^{i\theta_2} \end{pmatrix} = \sqrt{n_T} e^{\frac{i\theta_T}{2}} \begin{pmatrix} \cos(\vartheta/2) e^{-i\frac{\varphi}{2}} \\ \sin(\vartheta/2) e^{i\frac{\varphi}{2}} \end{pmatrix}$$

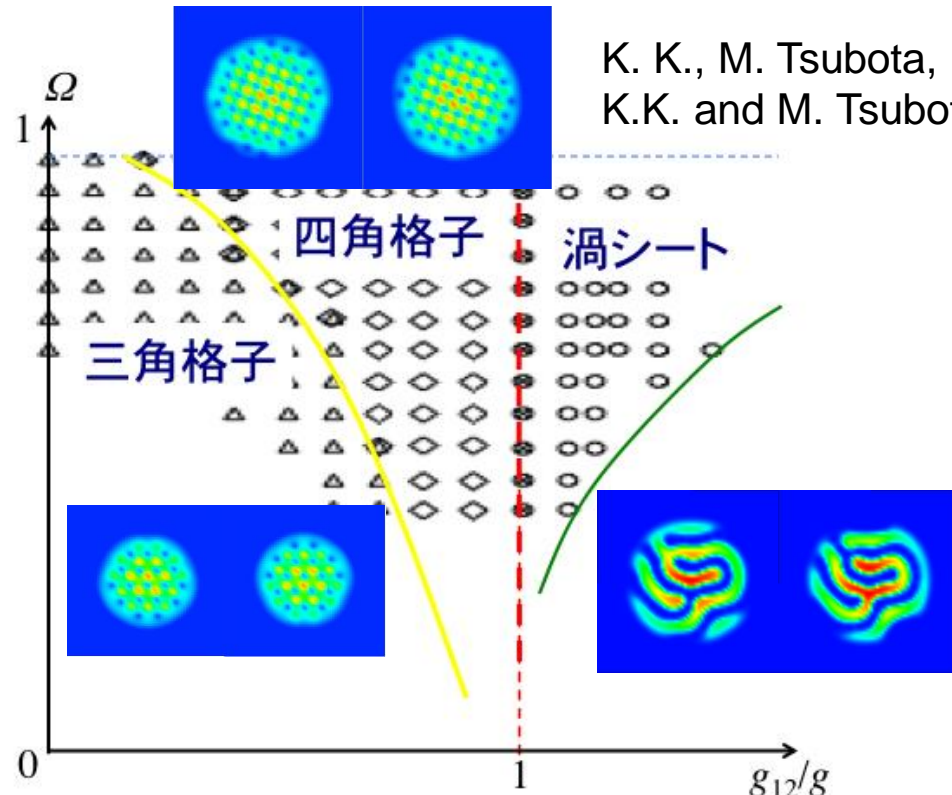
pseudo-spin:

$$S = \chi^\dagger \sigma \chi = \begin{pmatrix} S_x \\ S_y \\ S_z \end{pmatrix} = \begin{pmatrix} \sin \vartheta \cos \varphi \\ \sin \vartheta \sin \varphi \\ \cos \vartheta \end{pmatrix}$$

σ : Pauli matrix

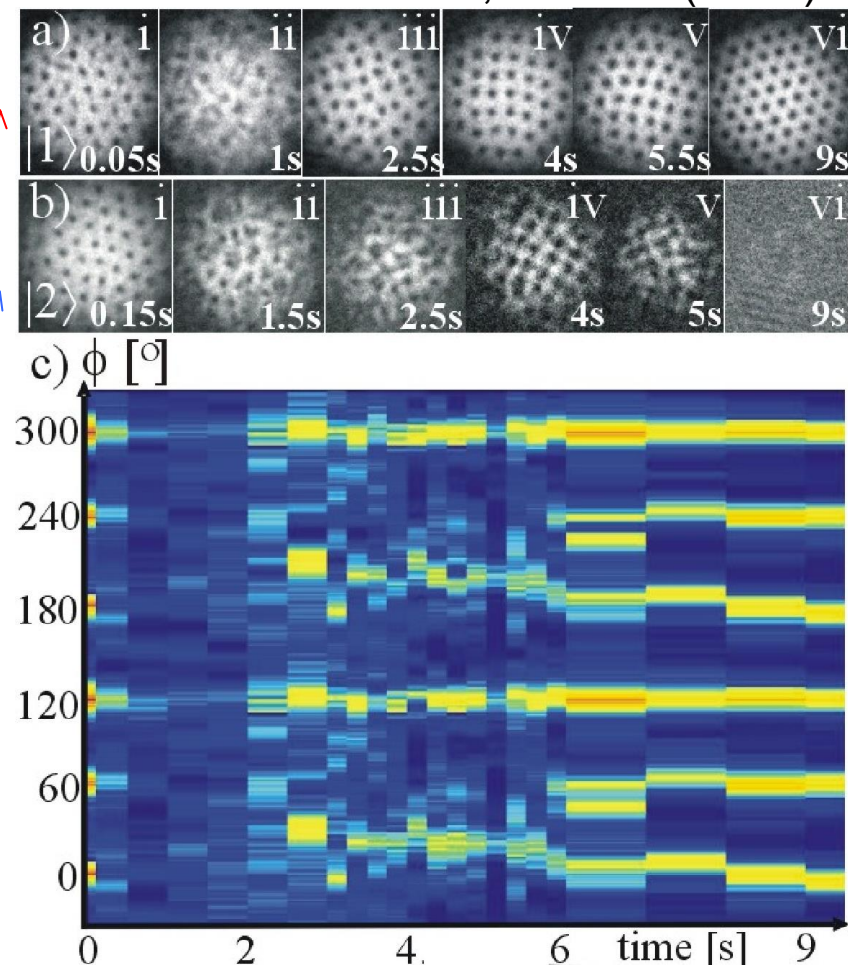
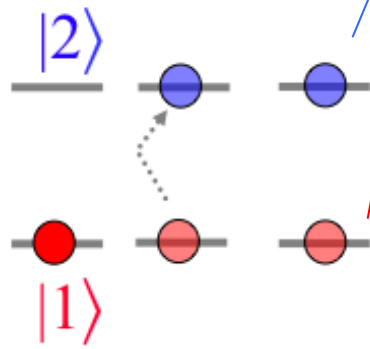
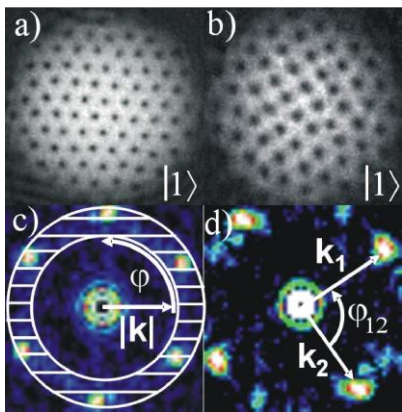


2成分BECにおける量子渦



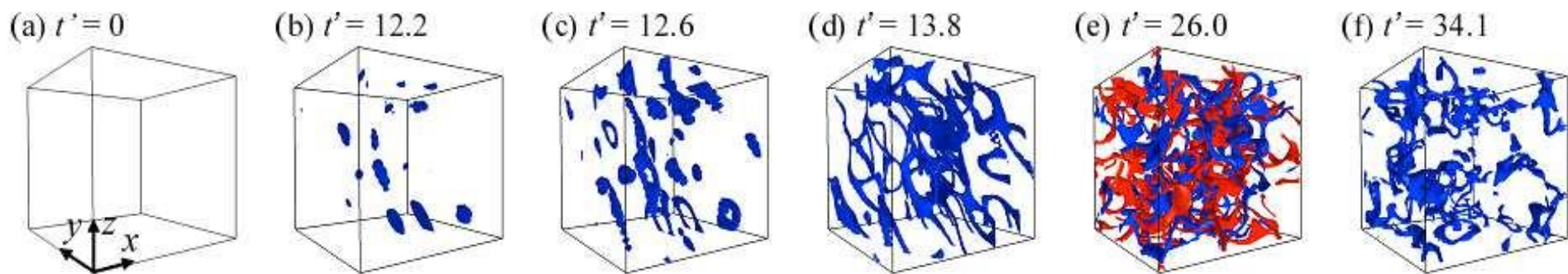
K. K., M. Tsubota, M. Ueda, PRL **91**, 150406 (2003)
K.K. and M. Tsubota, PRA **79**, 023606 (2009)

V. Schweikhard, et al.,
PRL **93**, 210403 (2004)



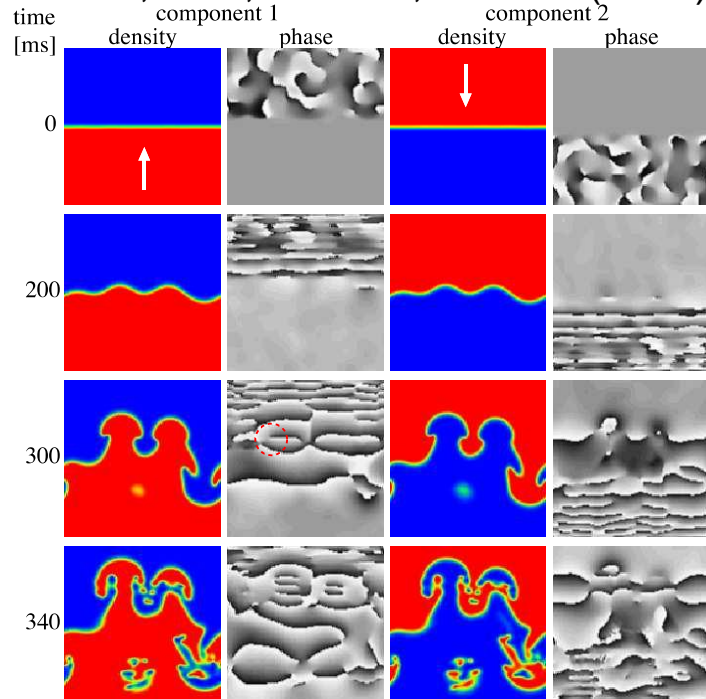
2成分BECにおける量子流体现象

2成分対向超流動 Ishino, Takeuchi, Tsubota., PRL 105, 205301 (2010)



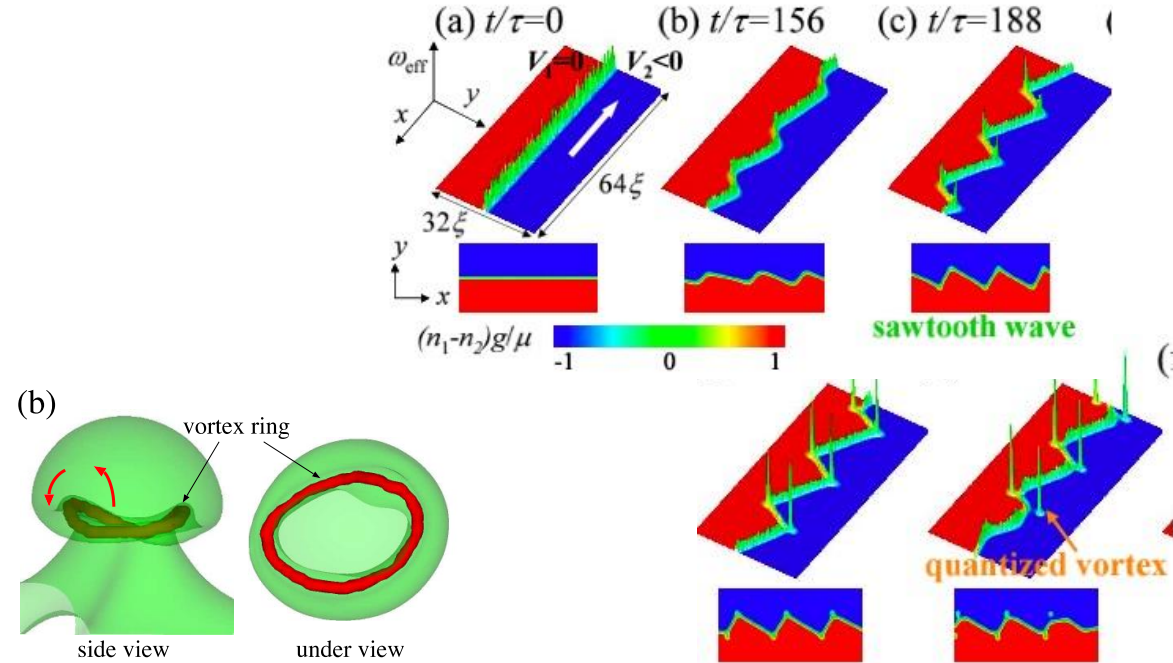
レイリーティラー不安定性

Sasaki, et al, PRA 80, 063611 (2009)



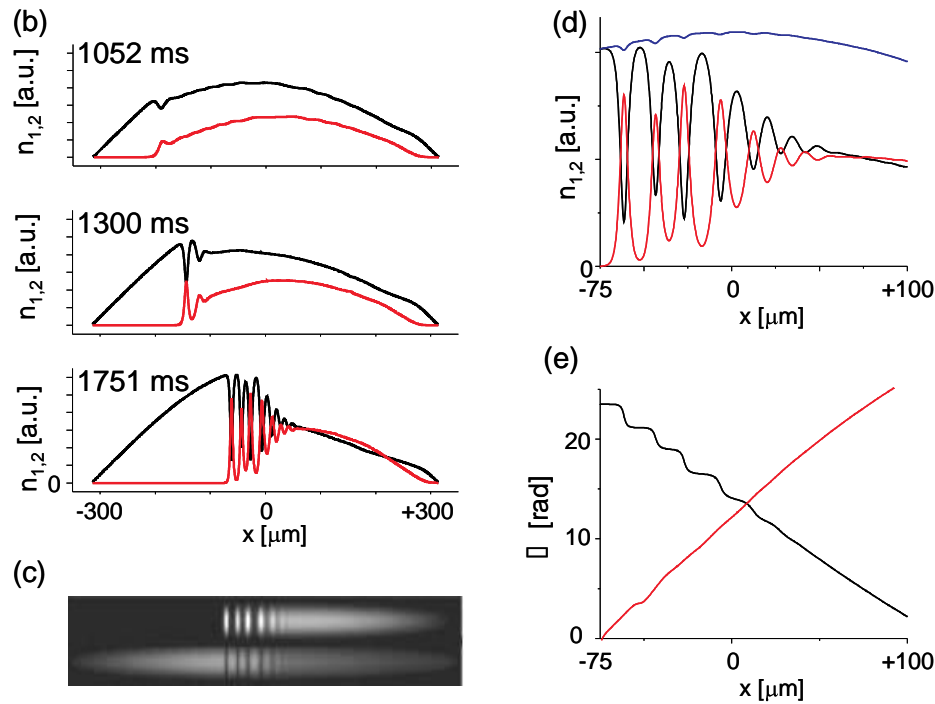
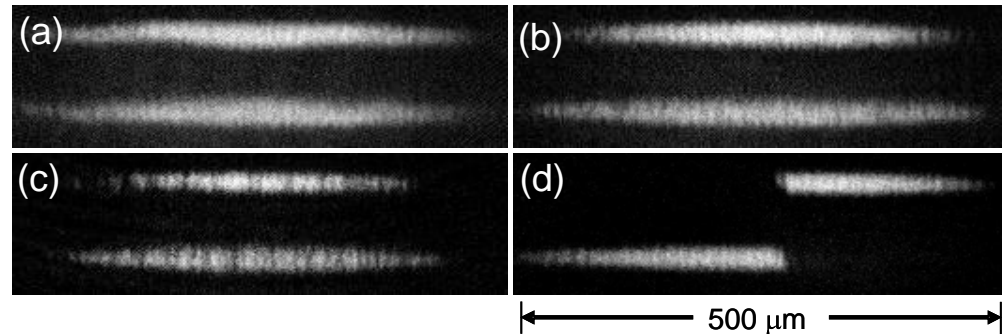
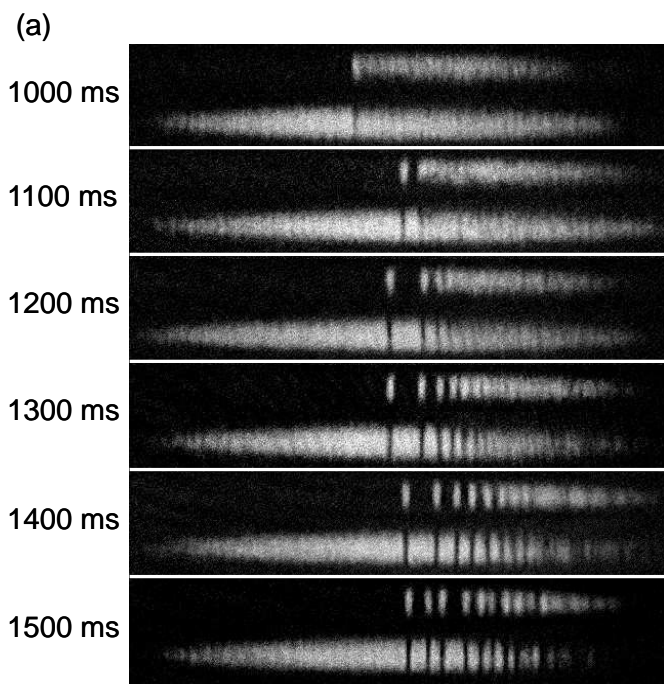
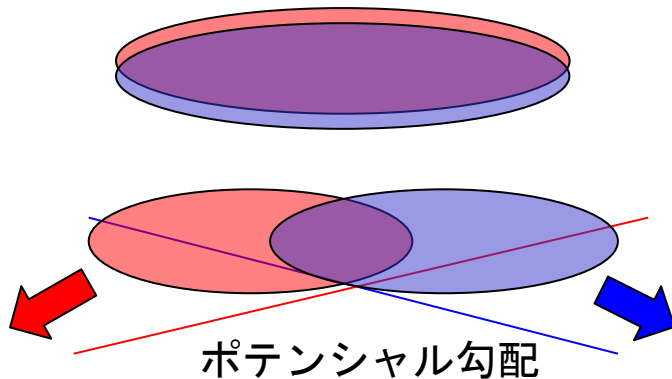
ケルビンヘルムホルツ不安定性

Takeuchi, et al., PRB 81, 094517 (2010)



2成分BECにおける量子流体现象

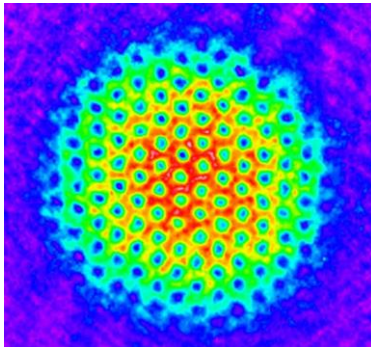
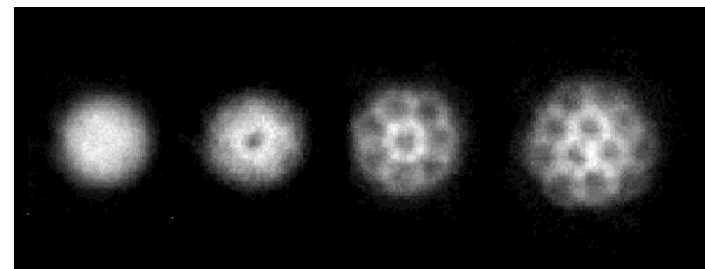
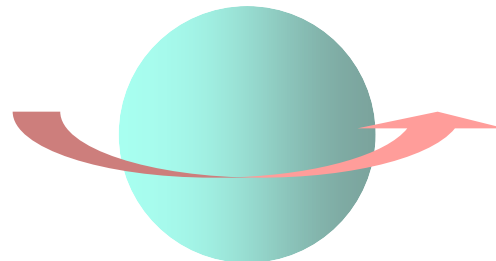
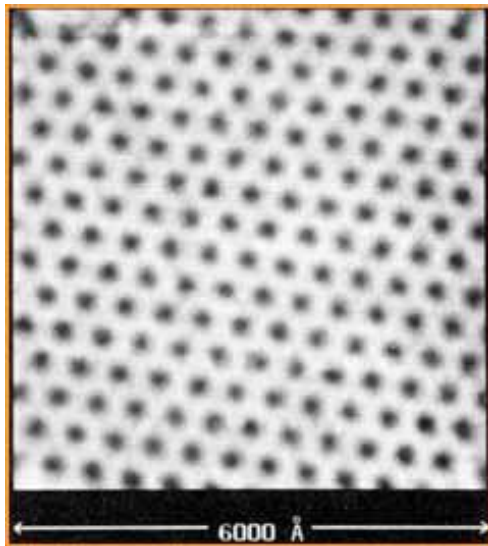
2成分対向超流動 Hamner, et al., PRL 106, 065302 (2011)



冷却原子系における「人工ゲージ場」

Superconductivity under a magnetic field

Rotating BEC



In a frame of reference rotating with $\Omega = \Omega \hat{z}$

$$\frac{p^2}{2m} - \boldsymbol{\Omega} \cdot \mathbf{L} = \frac{(p - m\boldsymbol{\Omega} \times \mathbf{r})^2}{2m} - \frac{1}{2}m\boldsymbol{\Omega}^2 r^2$$

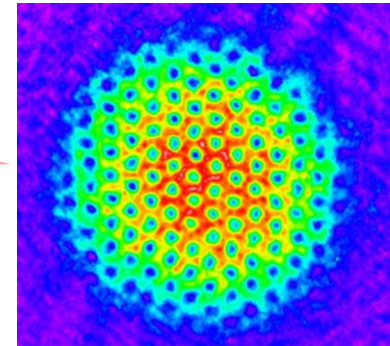
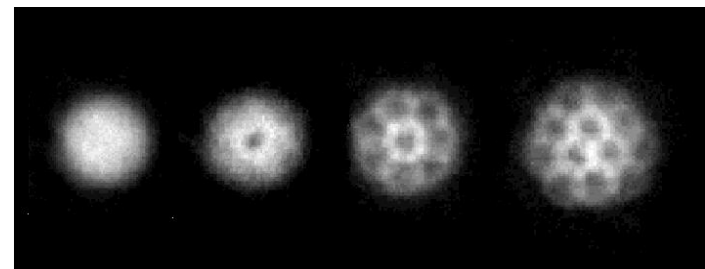
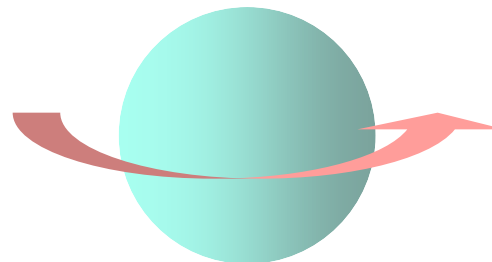
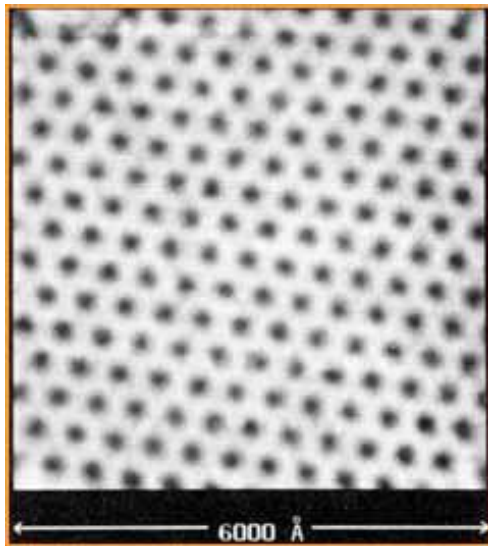
analogue of the Hamiltonian of
an electron in a magnetic field

$$\frac{(-i\hbar\nabla - e\mathbf{A}/c)^2}{2m}$$

冷却原子系における「人工ゲージ場」

Superconductivity under a magnetic field

Rotating BEC



In a frame of reference rotating with $\Omega = \Omega \hat{z}$

$$\frac{p^2}{2m} - \mathbf{\Omega} \cdot \mathbf{L} = \frac{(p - m\mathbf{\Omega} \times \mathbf{r})^2}{2m} - \frac{1}{2}m\mathbf{\Omega}^2 r^2$$

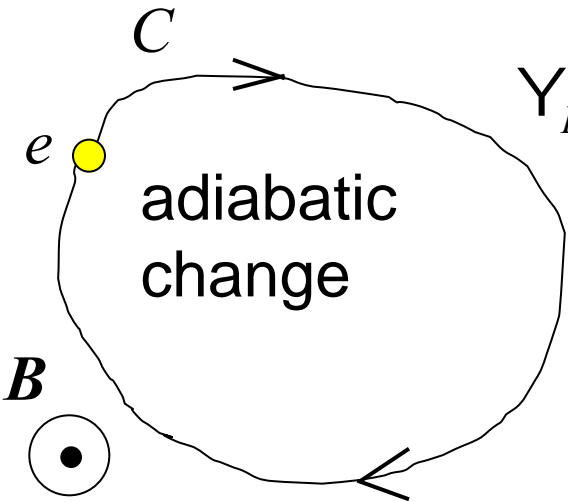
centrifugal potential weakens
the confining potential of a BEC



中性原子に対する「磁場」

< 幾何学的位相 >

$$H(\mathbf{R}(t)) \mathbf{Y}_R = E_R \mathbf{Y}_R$$



$$\mathbf{Y}_{R(t_f)}(t_f) = \exp\left[-\frac{i}{\hbar} \oint_{t_i}^{t_f} dt \mathbf{E}[\mathbf{R}(t)] + i g(C) \oint_{t_i}^{t_f} d\theta \right] \mathbf{Y}_{R(t_i)}(t_i)$$

Berry phase

$$\gamma(C) = i \oint_C \langle \Psi_{R(t)} | \nabla_{R(t)} \Psi_{R(t)} \rangle \cdot d\mathbf{R}(t)$$

e.g. Electrons in a magnetic field

Aharanov-Bohm phase $g(C) = \frac{eBS}{\hbar} = \frac{2\mu\Phi_0}{\Phi_0}$

中性原子に対する「磁場」

<Toy model> 二つの内部状態をもつ原子を考える

$$H = \frac{\hbar^2 p^2}{2m} + V \frac{\hat{\mathbf{r}}}{\theta} + U$$

$$U = \frac{\hbar\Omega}{2} \begin{pmatrix} \cos\theta & e^{-i\phi} \sin\theta \\ e^{i\phi} \sin\theta & -\cos\theta \end{pmatrix}$$

$V(\mathbf{r})$: 外部ポテンシャル (内部状態とは独立)
 $\Omega(\mathbf{r})$: ラビ振動数
 $\theta(\mathbf{r})$: mixing angle
 $\phi(\mathbf{r})$: phase angle

} これらは空間依存

Local eigenstate of $U(\mathbf{r})$ (dressed state)

$$|C_1\rangle = \frac{\cos(q/2)}{\sqrt{e^{if}\sin(q/2)\theta}} \quad |C_2\rangle = \frac{-e^{if}\sin(q/2)}{\sqrt{\cos(q/2)\theta}}$$

(直交基底)

状態ベクトル $|Y(\mathbf{r}, t)\rangle = \sum_{j=1,2} \alpha_j(\mathbf{r}, t) |C_j(\mathbf{r})\rangle$

中性原子に対する「磁場」

$$|C_1\rangle = \begin{cases} \cos(q/2) & \text{if } q \neq 0 \\ \frac{e^{i\phi}}{\sqrt{2}} & \text{if } q = 0 \end{cases} \quad |C_2\rangle = \begin{cases} -e^{i\phi} \sin(q/2) & \text{if } q \neq 0 \\ \frac{e^{i\phi}}{\sqrt{2}} & \text{if } q = 0 \end{cases}$$

$$|\Psi(\mathbf{r}, t)\rangle = \sum_{j=1,2} \hat{a}_j(\mathbf{r}, t) |C_j(\mathbf{r})\rangle$$

The atomic state is $|C_1\rangle$ at $t = 0$, following the dressed state adiabatically (ψ_2 is negligible).

$$i\hbar \frac{\partial}{\partial t} |\Psi(\mathbf{r}, t)\rangle = H |\Psi(\mathbf{r}, t)\rangle$$



$$i\hbar \frac{\partial \psi_1}{\partial t} = \left[\frac{(p - A)^2}{2m} + V + \frac{\hbar\Omega}{2} + W \right] \psi_1$$

geometric potential

$$\mathbf{A}(\mathbf{r}) = i\hbar \langle \chi_1 | \nabla \chi_1 \rangle = \frac{\hbar}{2} (\cos \theta - 1) \nabla \phi$$

$$W(\mathbf{r}) = \frac{\hbar^2}{2m} |\langle \chi_2 | \nabla \chi_1 \rangle|^2 = \frac{\hbar^2}{8m} [(\nabla \theta)^2 + \sin^2 \theta (\nabla \phi)^2]$$

only dependent on the spatial derivative of θ and ϕ

中性原子に対する「磁場」

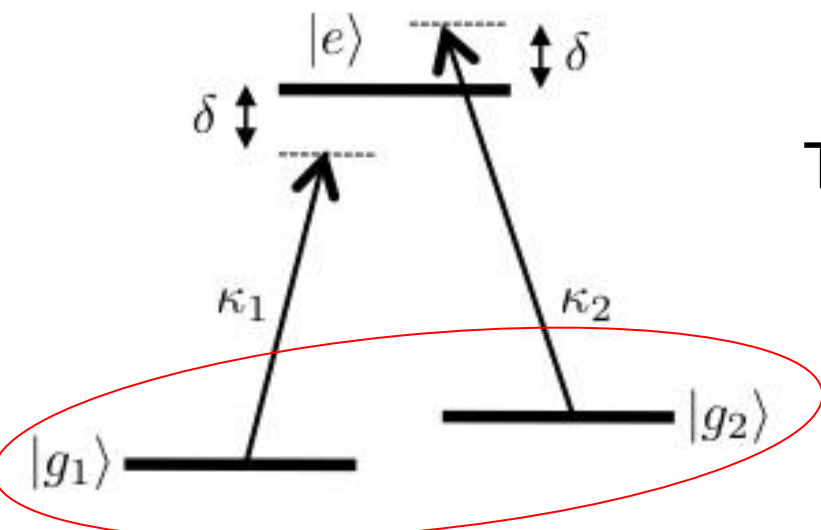
The lifetime of excited state $|e\rangle$ is generally very short.

Use of (quasi)degenerate ground states $\{|g_j\rangle, j = 1, \dots, N\}$ is preferred.

「 Λ -level scheme」

$\{|g_1\rangle, |e\rangle, |g_2\rangle\}$

$$\text{basis } U = \begin{pmatrix} \hbar \zeta & k_1^* & 0 \\ 2\zeta & k_1 & 0 \\ \bar{\epsilon} & 0 & k_2^* \end{pmatrix} \begin{pmatrix} -2d & \ddot{k}_1 & 0 \\ \dot{k}_1 & 0 & k_2 \\ 0 & k_2 & 2d \end{pmatrix}$$



Three eigenstates

$$\left\{ \begin{array}{l} |D\rangle \\ |\pm\rangle = (|B\rangle \pm |e\rangle)/\sqrt{2} \end{array} \right.$$

$$\text{Dark state } |D\rangle = (k_2|g_1\rangle - k_1|g_2\rangle)/k$$

$$\text{Bright state } |B\rangle = (k_1^*|g_1\rangle + k_2^*|g_2\rangle)/k$$

$$k = \sqrt{|k_1|^2 + |k_2|^2}$$

中性原子に対する「磁場」

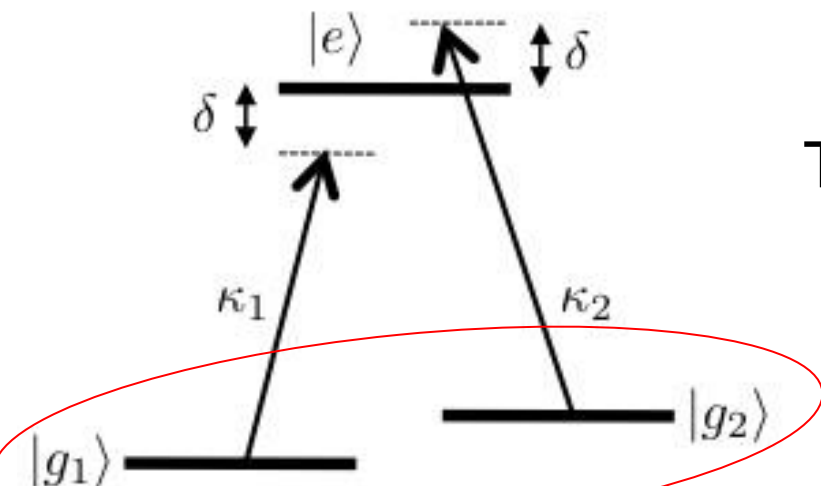
The lifetime of excited state $|e\rangle$ is generally very short.

Use of (quasi)degenerate ground states $\{|g_j\rangle, j = 1, \dots, N\}$ is preferred.

「 Λ -level scheme」

$\{|g_1\rangle, |e\rangle, |g_2\rangle\}$

$$\text{basis } U = \begin{pmatrix} \ddot{\kappa}_1 - 2d & k_1^* & 0 \\ \frac{\hbar}{2} \dot{\kappa}_1 & k_1 & 0 \\ \ddot{\kappa}_2 & 0 & k_2^* \end{pmatrix} \begin{pmatrix} 0 \\ d \\ 2d \end{pmatrix}$$



Three eigenstates

$$|D\rangle$$

$$|\pm\rangle = (|B\rangle \pm |e\rangle)/\sqrt{2}$$

$$|Y(r)\rangle = \sum_{X=D,\pm} y_X(r) |X(r)\rangle \rightarrow y_D(r) |D(r)\rangle$$

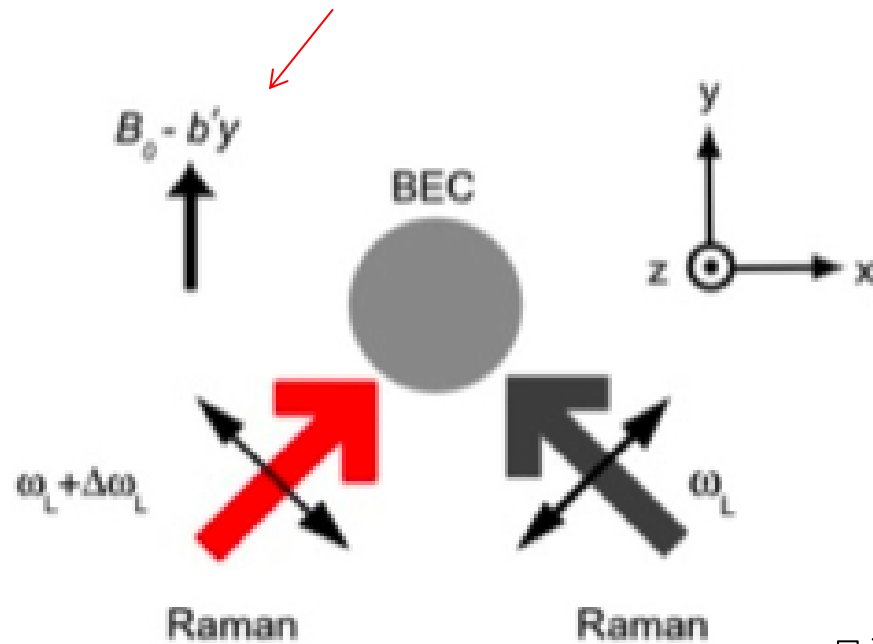
$$i\hbar \frac{\partial y_D}{\partial t} = \frac{e(\mathbf{p} - \mathbf{A})^2}{2m} + V + W y_D$$

$$\mathbf{A}(r) = i\hbar \langle D | \nabla D \rangle$$

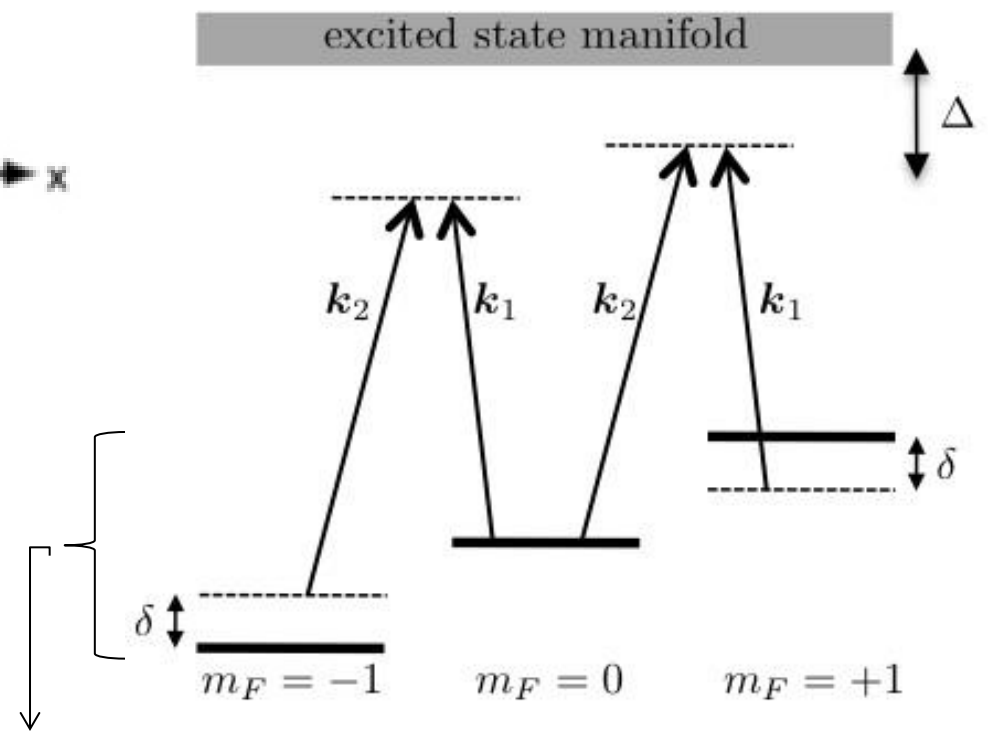
中性原子に対する「磁場」

Lin, et al. Phys. Rev. Lett. **102**, 130401 (2009)
Nature **462**, 628 (2009)

real magnetic field



^{87}Rb atom $F=1$ hyperfine level



The Zeeman split due to the real magnetic field

中性原子に対する「磁場」

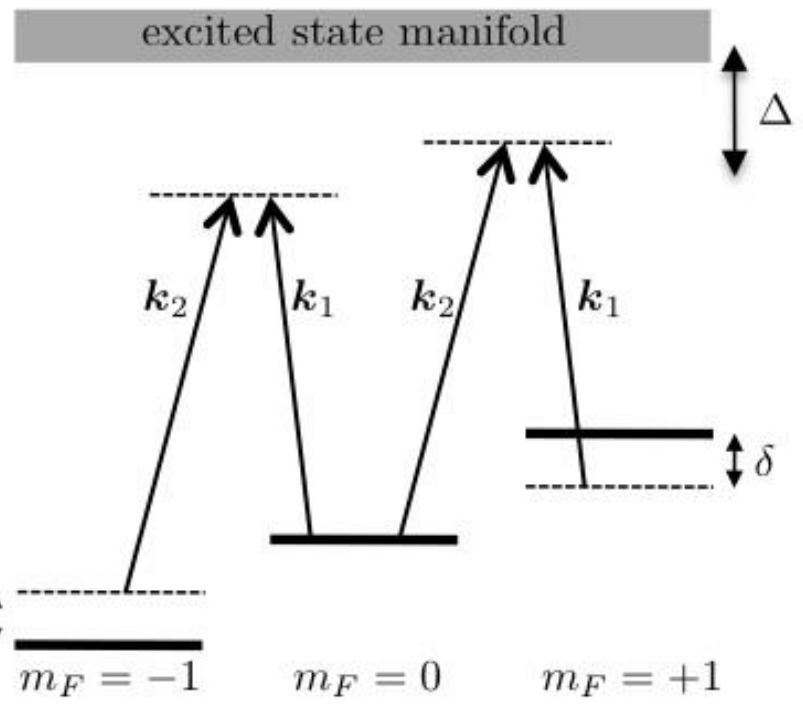
Lin, et al. Phys. Rev. Lett. **102**, 130401 (2009)

Nature **462**, 628 (2009)

$\{|m_F = -1\rangle, |m_F = 0\rangle, |m_F = +1\rangle\}$ basis

$$U = \begin{matrix} \ddot{\epsilon} & -2d & k & 0 & \emptyset \\ \hbar \zeta & k^* & 0 & k & \div \\ 2 \zeta & 0 & k^* & 2d & \div \\ \ddot{\epsilon} & & & & \emptyset \end{matrix}$$

^{87}Rb atom $F=1$ hyperfine level



$$k = k^{(0)} \exp[i(\mathbf{k}_1 - \mathbf{k}_2) \cdot \mathbf{r}] = k^{(0)} \exp(ik_d x)$$

eigenstate with the lowest eigenvalue

$$|C\rangle = e^{if} \cos^2 \frac{q}{2} |-1\rangle - \frac{\sin q}{\sqrt{2}} |0\rangle + e^{-if} \sin^2 \frac{q}{2} |+1\rangle$$

$$\mathbf{A}(\mathbf{r}) = i\hbar \langle \chi | \nabla \chi \rangle = -\hbar k_d \mathbf{e}_x \cos \theta$$

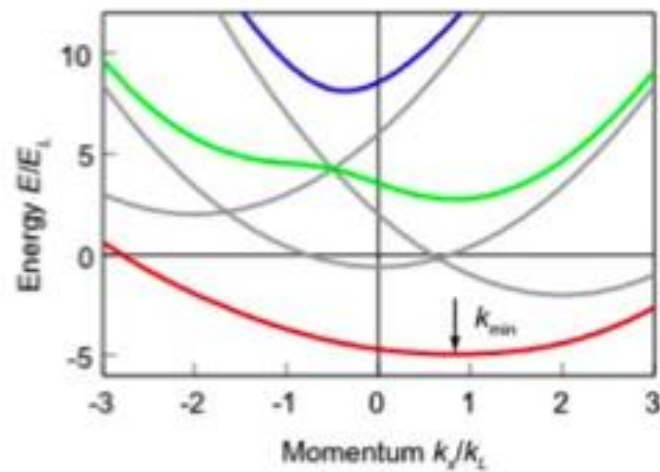
$$\tan q = \frac{k^{(0)}}{\sqrt{2}d}$$

$$A(r) \propto d \mathbf{e}_x \propto d(y - y_0) \mathbf{e}_x$$

Uniform magnetic field along the z-axis

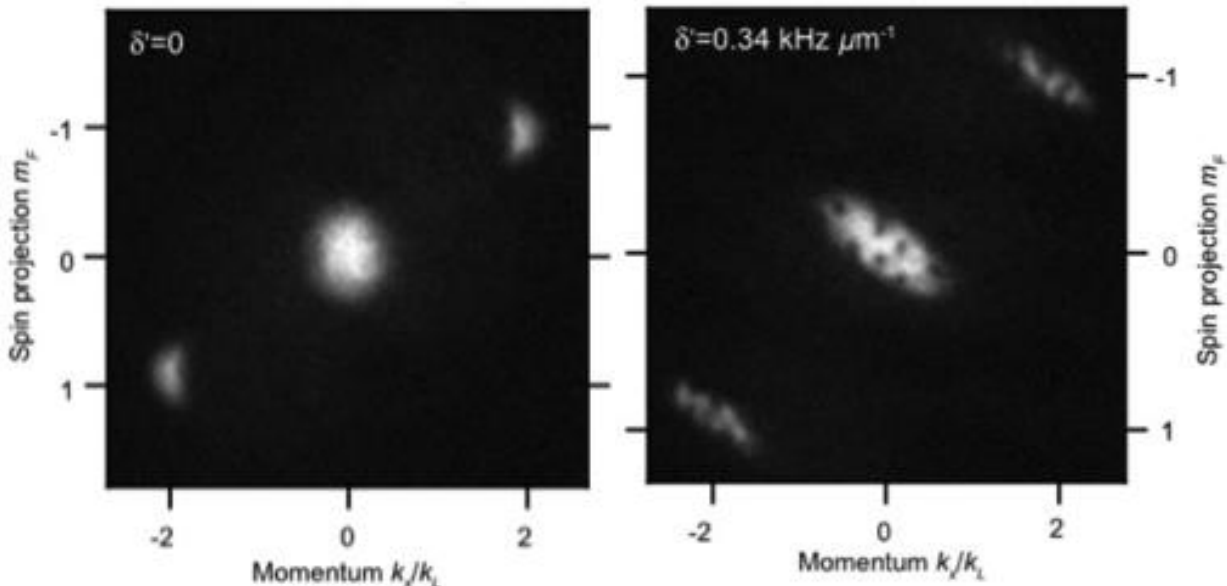
中性原子に対する「磁場」

Lin, et al. Phys. Rev. Lett. **102**, 130401 (2009)
 Nature **462**, 628 (2009)



$$H_x \approx \frac{\hbar^2}{2m^*} (k_x - k_{\min})^2$$

$$= \frac{\hbar^2}{2m^*} \left(k_x - \frac{q^* A^*}{\hbar} \right)^2$$



$$A(r) \perp d\mathbf{e}_x \perp d(y - y_0) \mathbf{e}_x$$

Uniform magnetic field along the z-axis

中性原子に対する「磁場」

光格子中の原子系における Hofstadter-Harper ハミルトニアンの実現

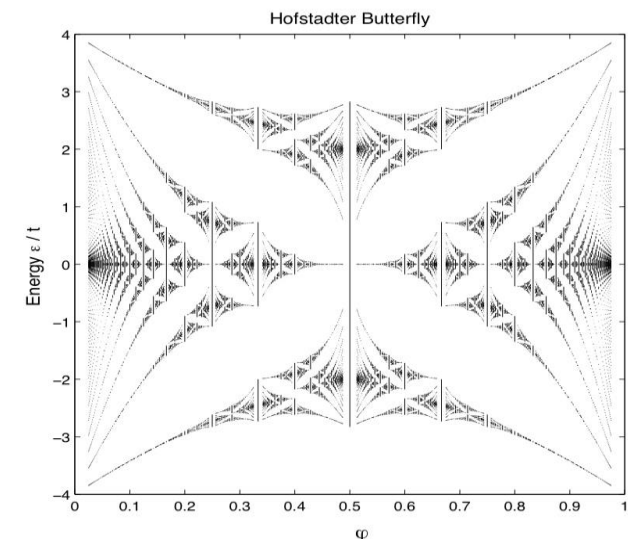
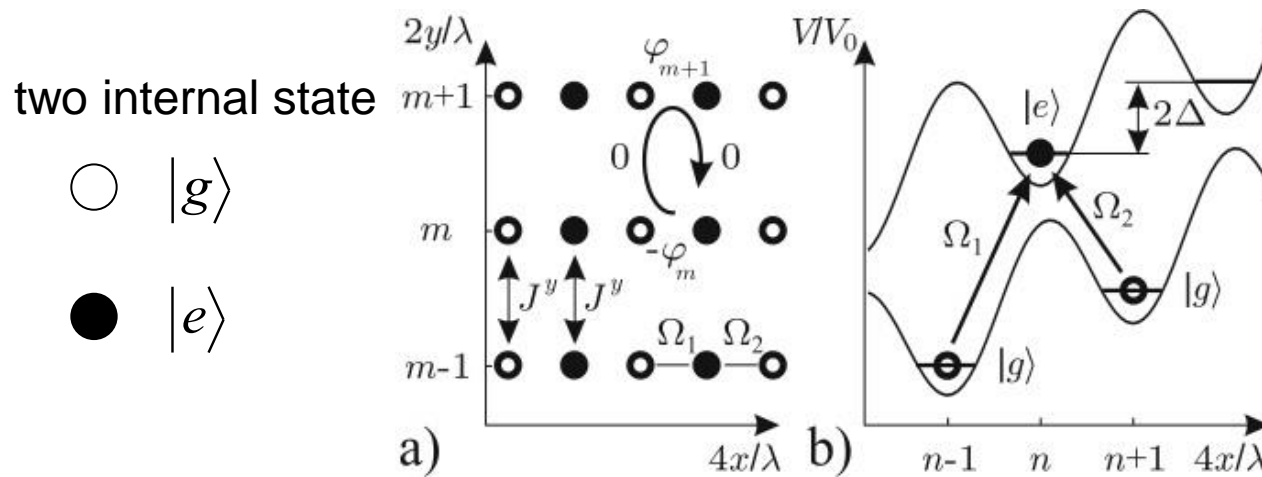
Peierls phase

$$\hat{H} = - \sum_{\langle j,j' \rangle} \frac{\tilde{a}}{2} \left(\hat{a}_j^\dagger \hat{a}_{j'} e^{-iA_{j,j'}} + \text{h.c.} \right) + \sum_j \tilde{a} E_j \hat{N}_j + \sum_j \tilde{a} \frac{U_j}{2} \hat{N}_j (\hat{N}_j - 1)$$

D. Jaksch and P. Zoller, New J. Phys. **5**, 56 (2003)

E. Mueller, et al., PRA **70**, 041603 (2004)

A.S. Sorensen et al., PRL **94**, 086803 (2005).



(Hamburg) J. Struck, PRL **108**, 225304 (2012), arXiv:1304.5520

(MaxPlanck) M. Aidelsburger, PRL **107**, 225301 (2011), arXiv:1308.0321

(MIT) H. Miyake, arXiv:1308.1431

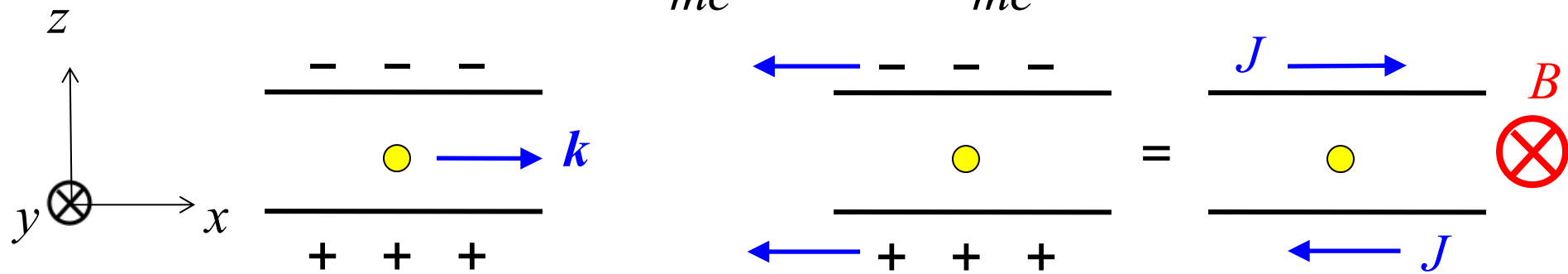
スピン軌道相互作用 (SOC)

→ スピンホール効果, トポロジカル絶縁体, etc

粒子が動く座標系における磁場と粒子の
磁気モーメントとの相互作用。

$$= -\mu \cdot \mathbf{B}_{SO}(k)$$

$$\mathbf{E} = E_0 \hat{z} \text{ のとき } \quad \mathbf{B}_{SO} = \frac{\hbar}{mc^2} (\mathbf{E} \times \mathbf{k}) = \frac{\hbar}{mc^2} E_0 (-k_y, k_x, 0)$$



Rashba SOC $-\mu \cdot \mathbf{B}_{SO}(k) \propto \sigma_x k_y - \sigma_y k_x \quad (\sigma_x k_x + \sigma_y k_y)$

2次元電子系 (GaAs系, etc)

Dresselhaus SOC $-\mu \cdot \mathbf{B}_{SO}(k) \propto -\sigma_x k_y - \sigma_y k_x \quad (-\sigma_x k_x + \sigma_y k_y)$

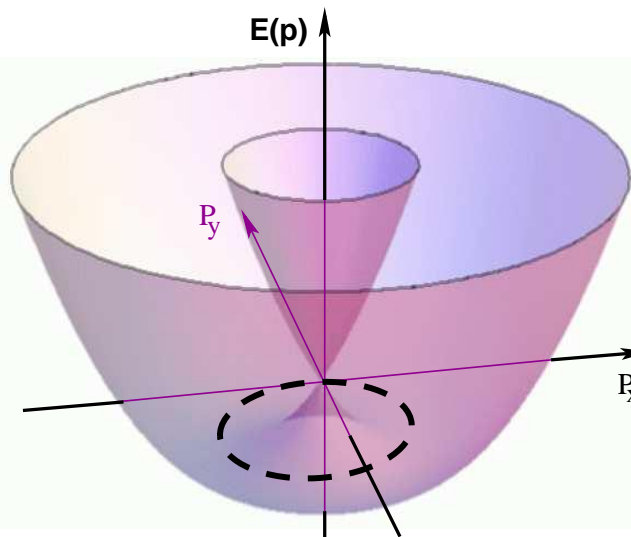
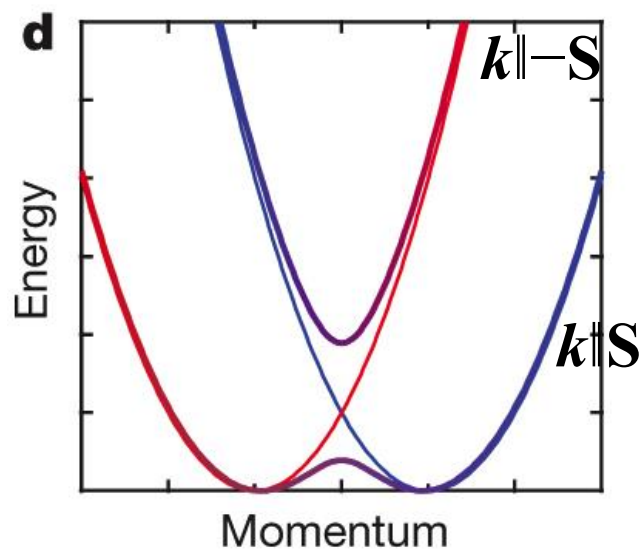
半導体の結晶構造に起因

SOCをもつボソン系

Rashba 型相互作用

$$H = \frac{\hbar^2}{2m} [k^2 - 2\kappa(k_x\sigma_x + k_y\sigma_y)]$$

Single-particle dispersion



Degenerate ground state for different azimuthal angle

- 最低エネルギー状態が縮退。 相互作用のある系での凝縮状態の構造？
縮退は原子間相互作用、トラップの非等方性、、、などにより解ける。

冷却原子系における スピン軌道相互作用

Lin, et al., Nature 471, 83 (2011)

Hamiltonian

$$H_{\text{eff}}^{(2)} = -\frac{\hbar^2 \nabla^2}{2m} \hat{1} + \delta \hat{\sigma}_z + \begin{bmatrix} 0 & \tilde{\Omega} e^{-2ik_L x} \\ \tilde{\Omega} e^{+2ik_L x} & 0 \end{bmatrix}$$

Pseudospin representation

$$|-\rangle = e^{-ip/4} \{ \cos(k_L x) |1\rangle + \sin(k_L x) |2\rangle \}$$

$$|+\rangle = e^{ip/4} \{ -\sin(k_L x) |1\rangle + \cos(k_L x) |2\rangle \}$$

Unitary transformation

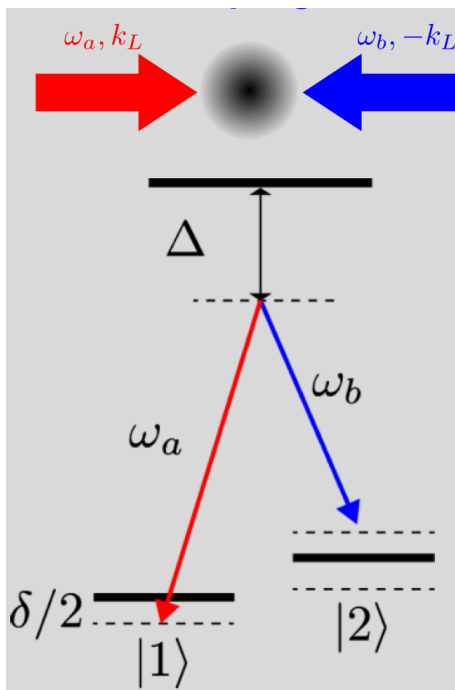
$$\hat{U}(\mathbf{r}) = e^{-i\hat{\sigma}_z \pi/4} e^{ik_L x \hat{\sigma}_y}$$

$$H'_{\text{eff}}^{(2)} = \hat{U}^\dagger(\mathbf{r}) H_{\text{eff}}^{(2)} \hat{U}(\mathbf{r})$$

$$= -\frac{\hbar^2}{2m} \left(i\nabla - k_L \hat{S}_x \hat{x} \right)^2 - d \hat{S}_x + \tilde{W} \hat{S}_z$$

Rashba+Dresselhaus type vector potential
(Non-Abelian gauge field)

Raman coupling



冷却原子系における スピン軌道相互作用

Raman coupling

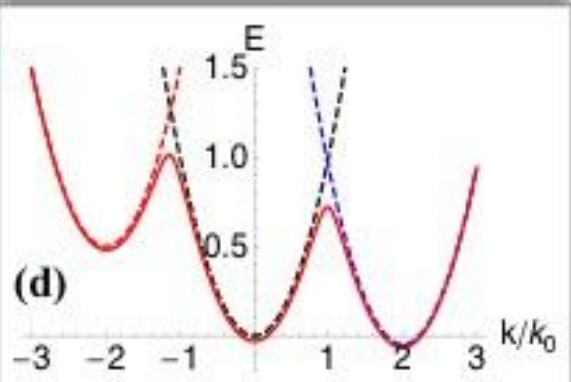
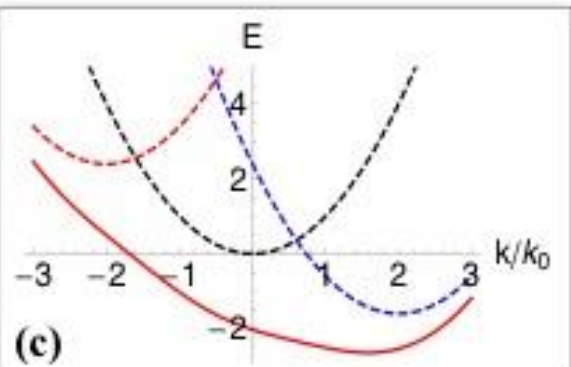
Boson ^{87}Rb $F=1$ $|m_F = 1, 0, -1\rangle$

Lin et al., Nature **471**, 83 (2011)

Fermion ^{40}K $F=9/2$ $|m_F = 9/2, 7/2\rangle$

Wang et al., PRL **109**, 095301 (2012)

^6Li $F=3/2$ $|m_F = 3/2, 1/2\rangle$



$$H'_{\text{eff}}^{(2)} = \hat{U}^\dagger(\mathbf{r}) H_{\text{eff}}^{(2)} \hat{U}(\mathbf{r})$$

$$= -\frac{\hbar^2}{2m} \left(i\nabla - k_L \hat{S}_x \hat{x} \right)^2 - d \hat{S}_x + \tilde{W} \hat{S}_z$$

Rashba+Dresselhaus type vector potential
(Non-Abelian gauge field)

様々な спин軌道相互作用 の生成法の提案

Rashba

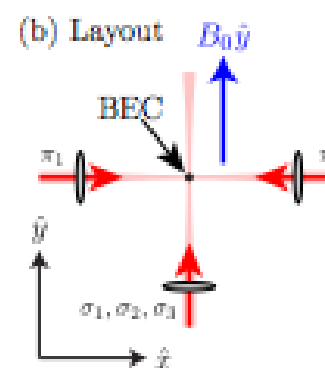
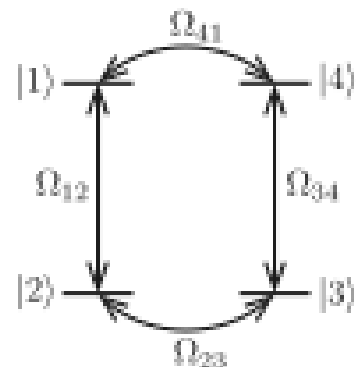
+Dresselhause (1D) $S_x \hat{x}$

Lin et al., Nature **471**, 83 (2011)

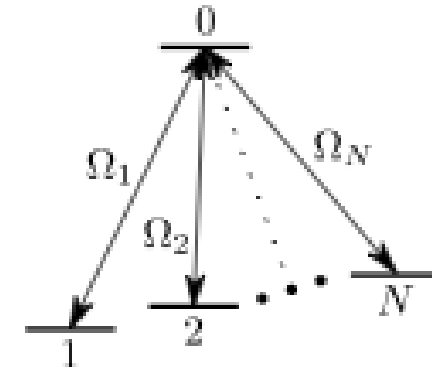
Rashba (2D)

$$S_x \hat{x} + S_y \hat{y}$$

Campbell et al., PRA. **84**,
025602 (2011)



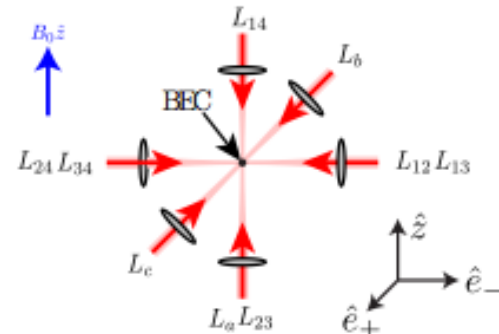
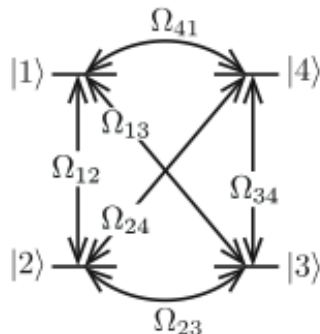
Juzeliunas et al., PRA **81**,
053403 (2010)



Rashba (3D)

$$S_x \hat{x} + S_y \hat{y} + S_z \hat{z}$$

Anderson et al., PRL **108**,
235301 (2012)



磁場勾配を用いた提案

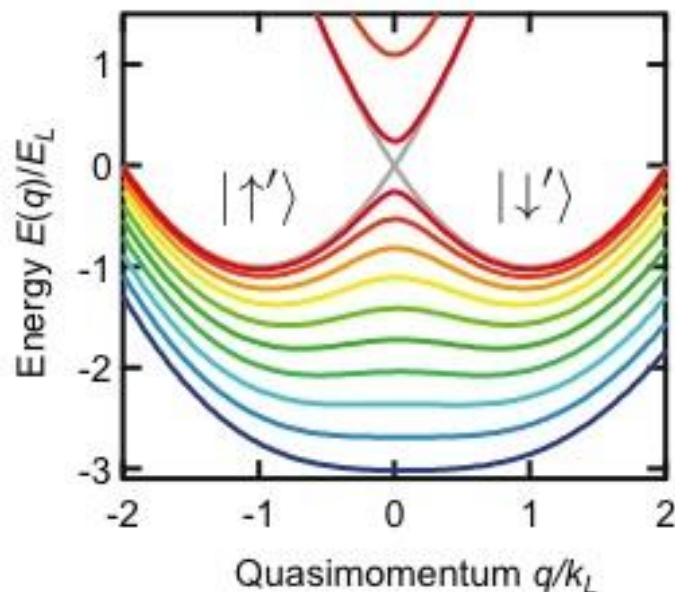
Xu et al., RPA **87**, 063634 (2013)
Anderson et al., arXiv:1306.2606

冷却原子系におけるスピン軌道相互作用の実験的観測

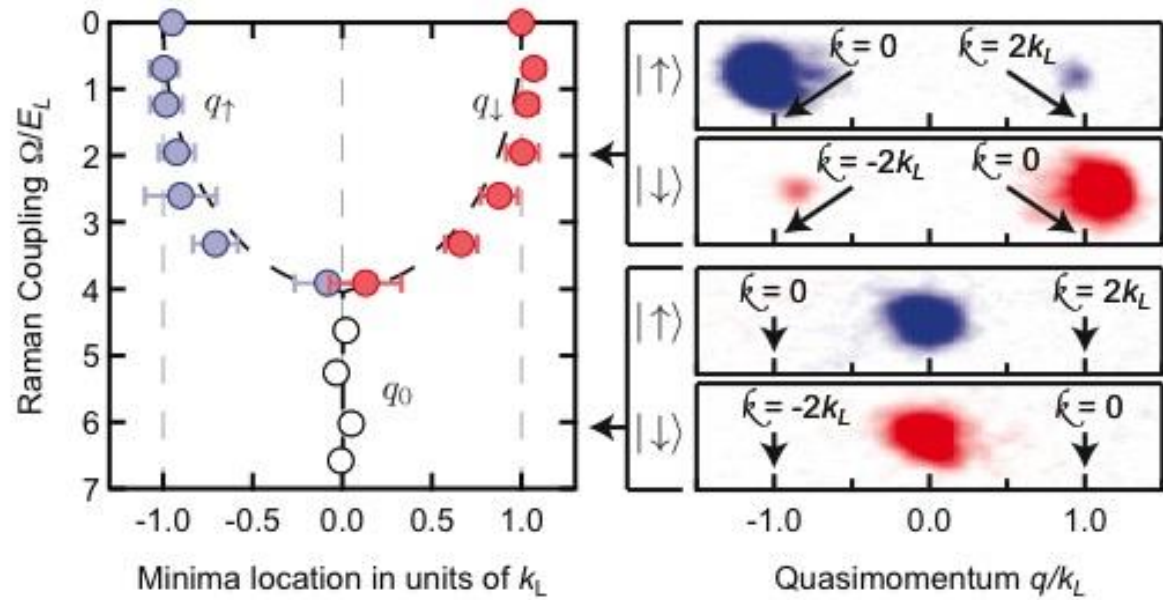
Lin et al., Nature 471, 83 (2011)

$$H'_{\text{eff}}^{(2)} = -\frac{\hbar^2}{2m} \left(i\nabla - k_L \hat{S}_x \hat{x} \right)^2 - d \hat{S}_x + \tilde{W} \hat{S}_z$$

分散関係



TOF imaging



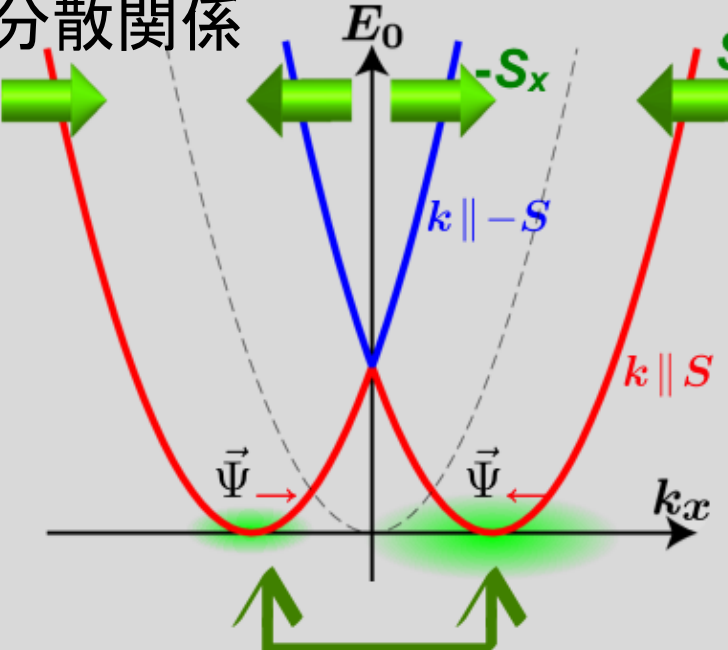
スピン軌道相互作用をもつBEC

基底状態 ボース凝縮

Rashba + Dresselhaus $A = \sigma_x \hat{x}$

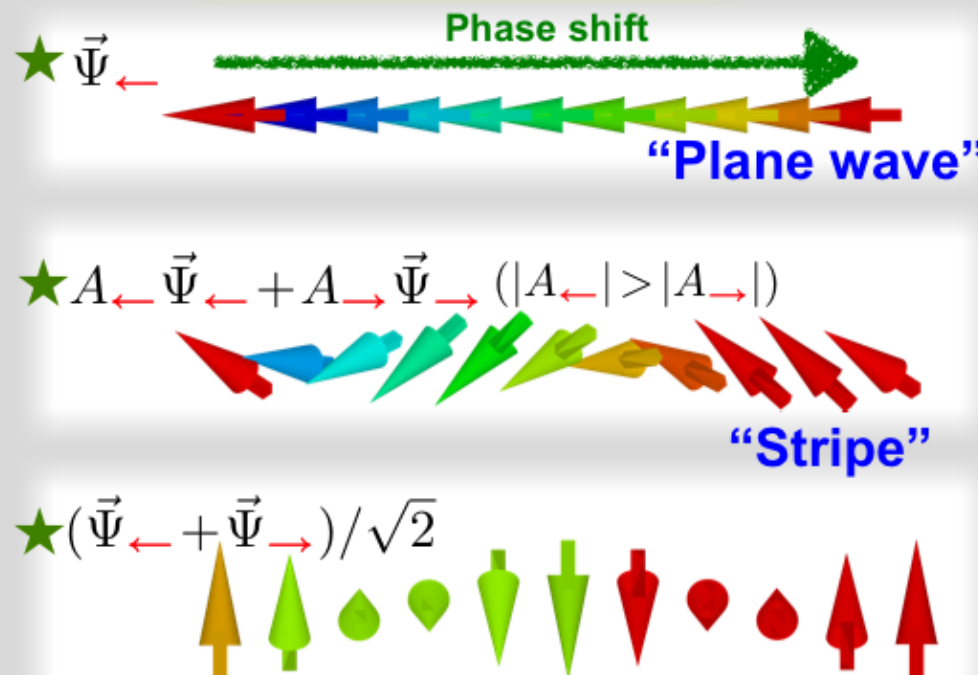
Lin, Garcia, Spielman, Nature 471, 83 (2011)

分散関係



Possible ground states

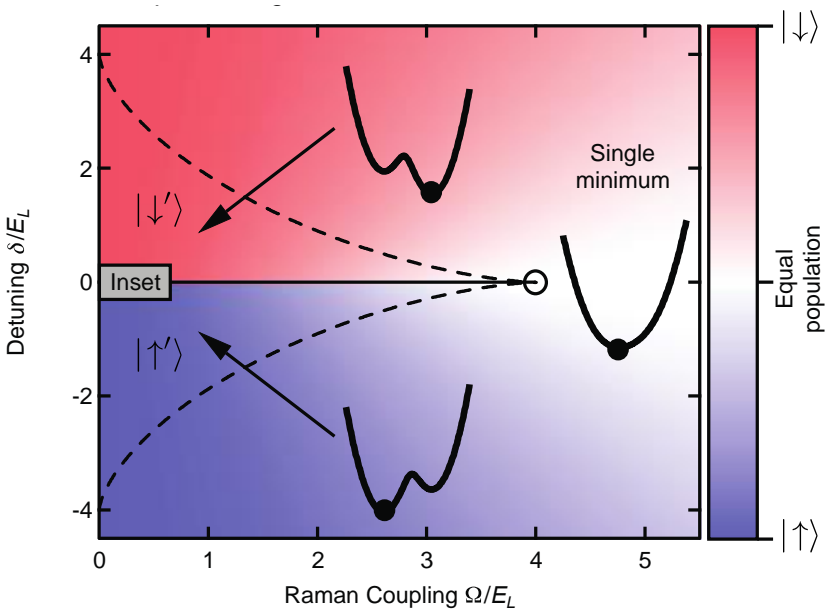
Helical modulation



Rashba+Dresselhaus SOC BEC

Lin et al., Nature **471**, 83 (2011)

$$H = \int d\mathbf{r} \Psi_{\mu}^* \left[\frac{\hbar^2}{2m} (-i\nabla - k_L \hat{\sigma}_x \hat{x})^2 - \delta \hat{\sigma}_x + \tilde{\Omega} \hat{\sigma}_z \right] \Psi_{\nu} + \frac{1}{2} \int d\mathbf{r} n_{\mu} g_{\mu\nu} n_{\nu}$$



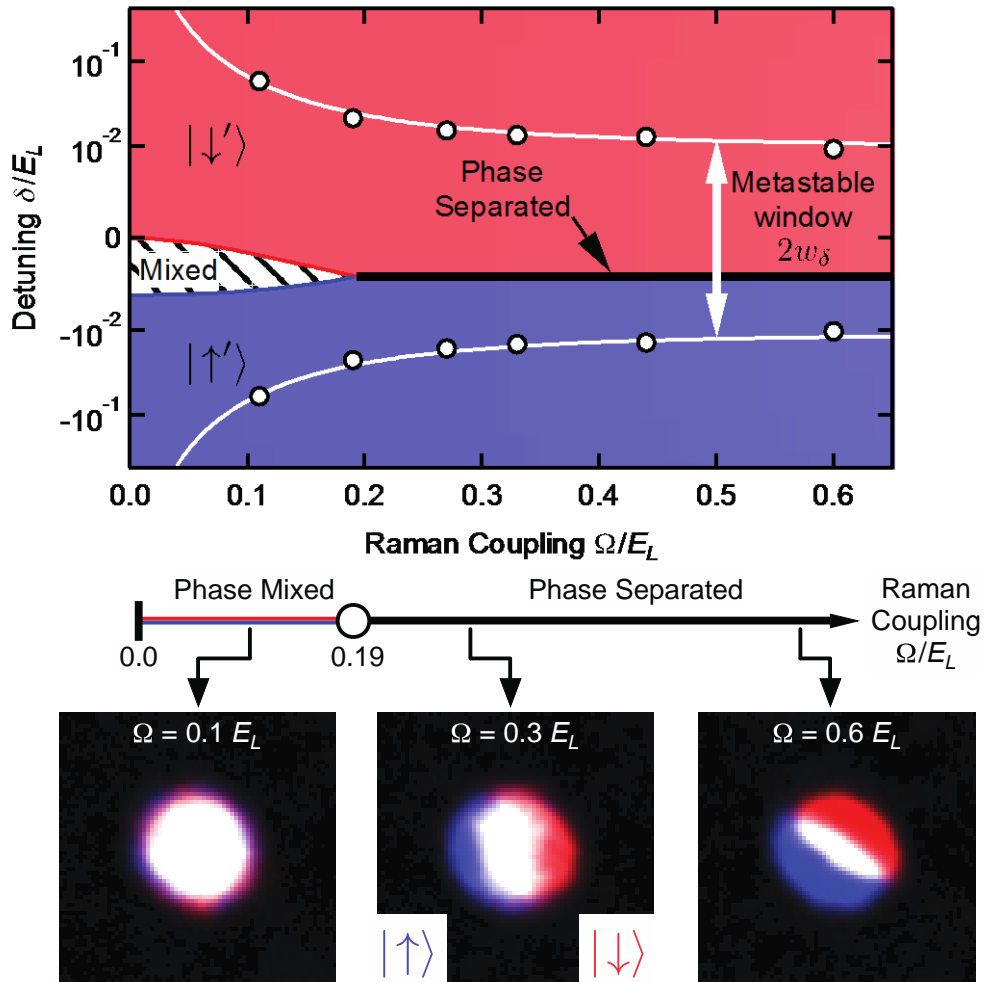
$$E_{\text{int}} = \oint d\mathbf{r} \left[\frac{g + g_{12}}{2} n^2 + \frac{g - g_{12}}{2} S_z^2 \right]$$

$$n = n_1 + n_2$$

$$S_z = n_1 - n_2$$

$$g = g_{11} \equiv g_{22}$$

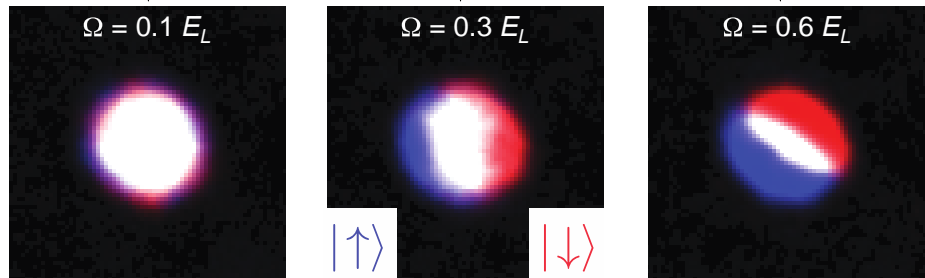
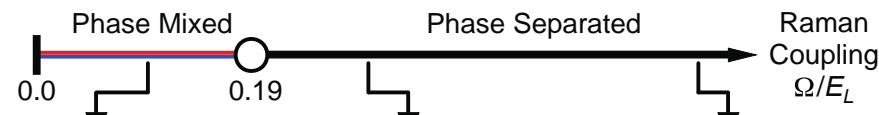
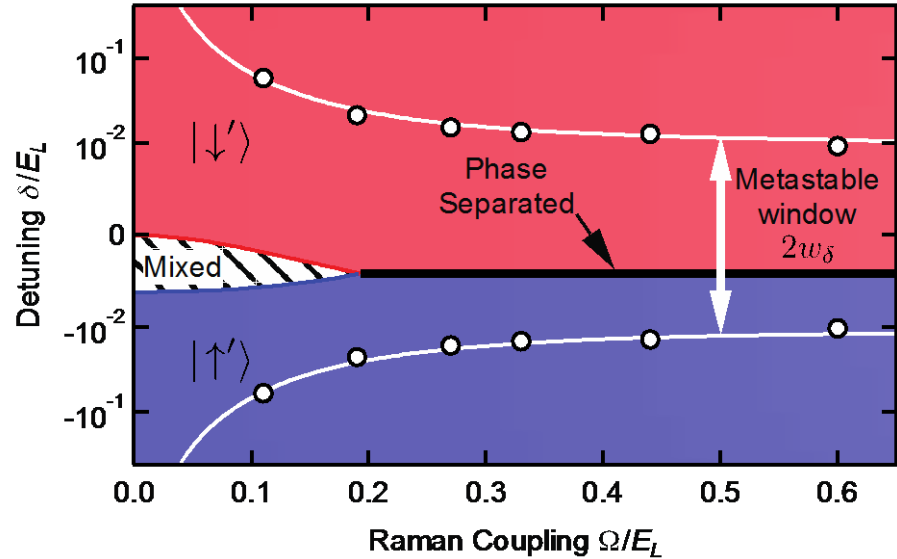
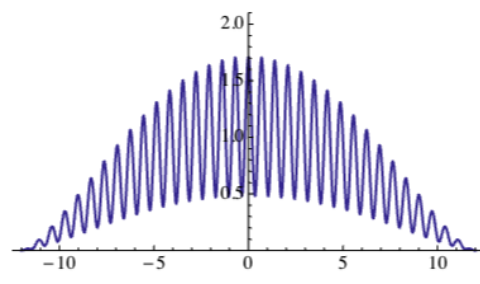
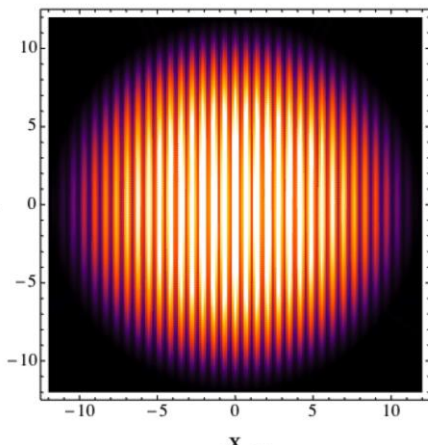
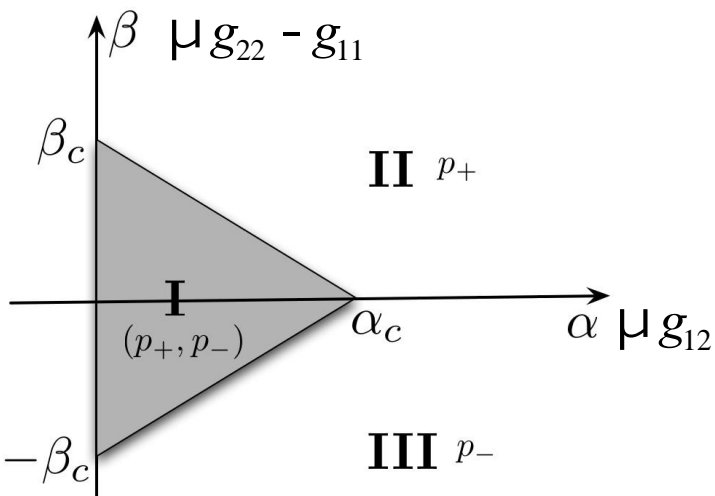
$$g_{12} = g + \frac{\Omega_R}{2E_L}$$



Rashba+Dresselhaus SOC BEC

Lin et al., Nature **471**, 83 (2011)

$$H = \int d\mathbf{r} \Psi_{\mu}^* \left[\frac{\hbar^2}{2m} (-i\nabla - k_L \hat{\sigma}_x \hat{x})^2 - \delta \hat{\sigma}_x + \tilde{\Omega} \hat{\sigma}_z \right] \Psi_{\nu} + \frac{1}{2} \int d\mathbf{r} n_{\mu} g_{\mu\nu} n_{\nu}$$



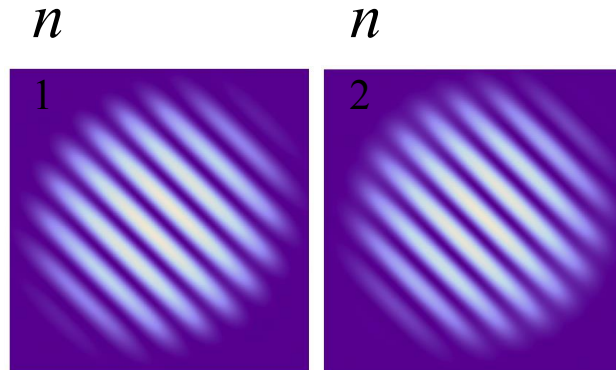
Ho, Zhang PRL **107**, 150403 (2011)

2D Rashba SOC BEC (トラップ系)

$$A = \hbar\kappa(\sigma_x \hat{x} + \sigma_y \hat{y})$$

$$E_{GP} = \int d\mathbf{r} \left[\frac{1}{2m} \Psi_\mu^\bullet(\mathbf{r}) (-i\hbar\nabla - A)_{\mu\nu}^2 \Psi_\nu(\mathbf{r}) + Vn + \frac{c_0}{2} n^2 + \frac{c_2}{2} S_z^2 \right]$$

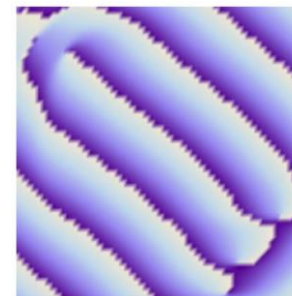
Strong interaction



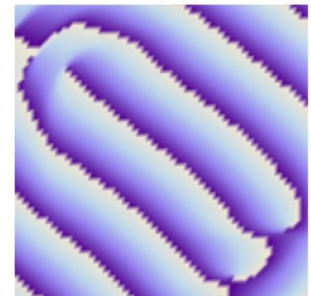
Wang et al., PRL
106, 160403 (2010)

$$c_0 = \frac{g + g_{12}}{2}$$

θ_1

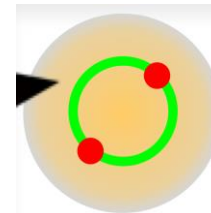


θ_2



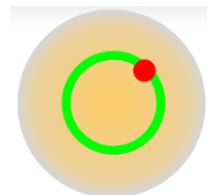
“stripe phase”

$$j \sim \begin{cases} \hat{\mathbf{x}} \cos \mathbf{k} \times \mathbf{r} & \theta \\ \hat{\mathbf{z}} i \sin \mathbf{k} \times \mathbf{r} & \phi \end{cases}$$



“plane wave phase”

$$j = \frac{1}{\sqrt{2}} e^{i \mathbf{k} \cdot \mathbf{r}} \begin{cases} \hat{\mathbf{x}} 1 & \theta \\ \hat{\mathbf{z}} -e^{i \omega_k t} & \phi \end{cases}$$



$$c_2 = \frac{g - g_{12}}{2}$$



miscible

2D Rashba SOC BEC (トラップ系)

$$A = \hbar\kappa(\sigma_x \hat{x} + \sigma_y \hat{y})$$

$$E_{GP} = \int d\mathbf{r} \left[\frac{1}{2m} \Psi_\mu^\bullet(\mathbf{r}) (-i\hbar\nabla - A)_{\mu\nu}^2 \Psi_\nu(\mathbf{r}) + Vn + \frac{c_0}{2} n^2 + \frac{c_2}{2} S_z^2 \right]$$

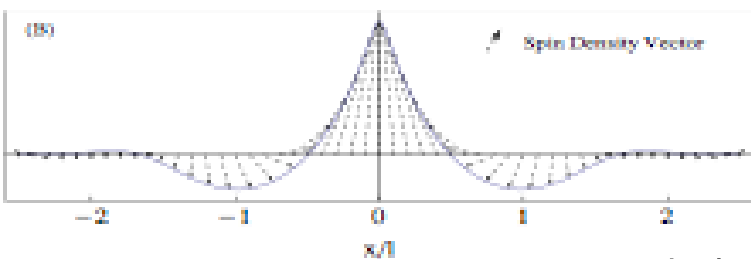
Non-interacting case

Wu, et al., Chin. Phys. Lett.
28, 097102 (2011)

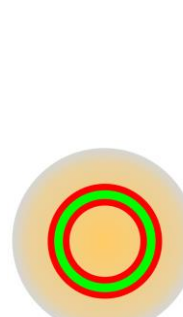
$$\phi = \begin{pmatrix} \phi_\uparrow(r) \\ \phi_\downarrow(r)e^{i\theta} \end{pmatrix}$$

Half-quantum vortex

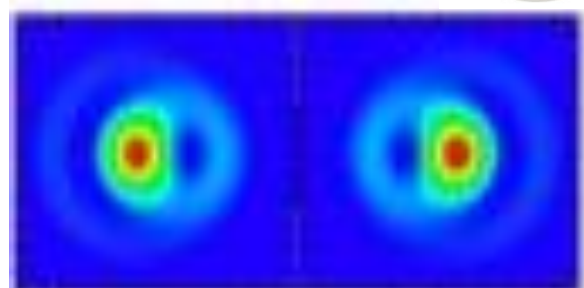
$$c_0 = \frac{g + g_{12}}{2}$$



HV(1/2)

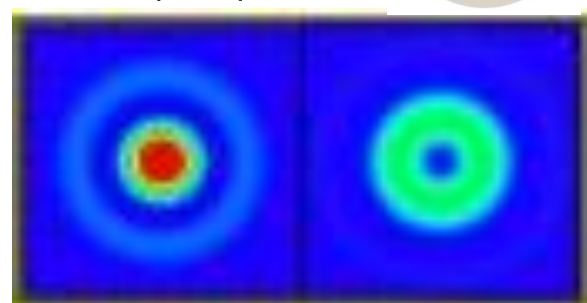


Superposition of
HV(1/2)



Weak interaction

Hu, et al., PRL
108, 010402 (2012)



immiscible

$$c_2 = \frac{g - g_{12}}{2}$$

miscible

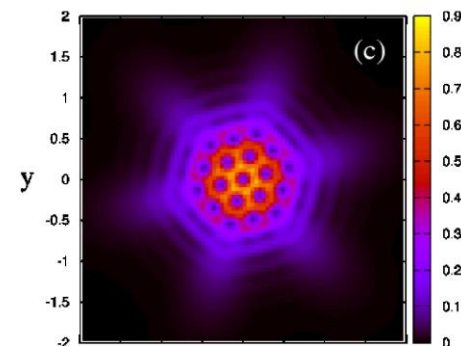
2D Rashba SOC BEC (トラップ系)

$$A = \hbar\kappa(\sigma_x \hat{x} + \sigma_y \hat{y})$$

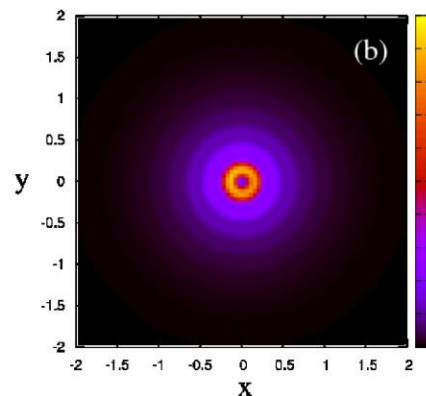
$$E_{GP} = \int d\mathbf{r} \left[\frac{1}{2m} \Psi_\mu^\bullet(\mathbf{r}) (-i\hbar\nabla - A)_{\mu\nu}^2 \Psi_\nu(\mathbf{r}) + Vn + \frac{c_0}{2} n^2 + \frac{c_2}{2} S_z^2 \right]$$

$$c_0 = \frac{g + g_{12}}{2}$$

Vortex lattice



Sinha, et al., PRL
106, 160403 (2011) HV(3/2)



$$c_2 = \frac{g - g_{12}}{2}$$



immiscible

miscible

まとめ

- 1, 原子気体のボースアインシュタイン凝縮(BEC)
- 2, 超流動・量子流体力学の展開
- 3, 中性原子に対する磁場 (Synthetic gauge field)
- 4, スピン軌道相互作用をもつBEC

ボース凝縮系における超流動, 量子流体力学は新しい技術の発展により新たな展開を迎えている。

様々な分野との交流が重要